

---

# COMPTAGE DES MULTIPLICITÉS DANS UNE HYPERSURFACE SUR UN CORPS FINI

Chunhui Liu

---

**Résumé.** — Dans cet article, on considère un problème de comptage de multiplicités. On fixe une fonction de comptage de multiplicité des points rationnels dans une hypersurface d'un espace projectif sur un corps fini, et on donne une majoration de la somme de cette fonction de comptage en terme du degré de l'hypersurface, de la dimension et du cardinal du corps fini. Cette majoration donne une description de la complexité du lieu singulier de cette hypersurface. Afin d'obtenir la majoration, on introduit une notion appelée arbre d'intersection par la théorie d'intersection. On construit une suite d'intersections, telle que la multiplicité d'un point rationnel singulier soit égale à celle d'une des composantes irréductibles dans les intersections. Les multiplicités des composantes irréductibles construites ci-dessus sont majorées par ses multiplicités dans l'arbre d'intersection.

**Abstract (Counting multiplicities in a hypersurface over finite field)**

In this paper, we consider a problem of counting multiplicities. We fix a counting function of multiplicity of rational points in a hypersurface of a projective space over a finite field, and we give an upper bound for the sum with respect to this counting function in terms of the degree of the hypersurface, the dimension and the cardinality of the finite field. This upper bound gives a description of the complexity of the singular locus of this hypersurface. In order to obtain this upper bound, we introduce a notion called intersection tree by intersection theory. We construct a sequence of intersections, such that the multiplicity of a singular rational point is equal to that of one of the irreducible components in these intersections. The multiplicities of these irreducible components constructed above are bounded by their multiplicities in the intersection tree.

## Table des matières

1. Introduction.....	2
2. Arbre d'intersection.....	4
3. Estimation de poids des arbres d'intersection.....	8
4. Démonstration du théorème 3.1.....	23
5. Estimation de multiplicités dans une hypersurface.....	31
Références.....	39

## 1. Introduction

Dans cet article, on considère le problème de comptage des multiplicités dans un schéma projectif sur un corps fini. Soit  $X$  un schéma de type fini sur un corps fini  $k$ , on s'intéresse au problème de comptage de la forme

$$\sum_{\xi \in X(k)} f(\mu_\xi(X)),$$

où  $f(\cdot)$  est un polynôme et  $\mu_\xi(X)$  est la multiplicité locale du point  $\xi$  dans  $X$  définie via la fonction de Hilbert-Samuel locale.

On fixe un corps fini  $k = \mathbb{F}_q$ , où  $q$  est une puissance d'un nombre premier  $p$  (qui est la caractéristique du corps  $k$ ). On considère le cas où  $X$  est un sous-schéma fermé de  $\mathbb{P}_{\mathbb{F}_q}^n$ . Il y a beaucoup de résultats autour de la majoration du nombre des points  $\mathbb{F}_q$ -rationnels de  $X$ , qui signifie que l'on prend la fonction de comptage  $f(\cdot) \equiv 1$  ci-dessus. Pour cela, on peut utiliser la méthode analytique ou la méthode de cohomologie étale.

Si on prend un choix non-trivial de la fonction de comptage, par exemple, on prend  $f(\mu_\xi(X))$  de la forme  $\mu_\xi(X)(\mu_\xi(X) - 1)^t$ , où  $t$  est un entier positif. Dans ce cas-là, les méthodes mentionnées ci-dessus sont difficiles à utiliser pour cela.

**1.1. Résultats antérieurs.** — Soit  $X$  une courbe plane projective réduite. Dans ce cas-là, le lieu singulier de  $X$  est de dimension 0 si la courbe est singulière. Soit  $\delta$  le degré de  $X$ , d'après l'exercice 5-22 dans la page 115 de [4], on a

$$(1) \quad \sum_{\xi \in X} \mu_\xi(X) (\mu_\xi(X) - 1) \leq \delta(\delta - 1),$$

qui découle du théorème de Bézout en théorie d'intersection. Plus précisément, soit  $g$  le genre de la courbe plane projective  $X$ . Si  $X$  est géométriquement intègre, d'après le corollaire 1 dans la page 201 de [4], on a

$$g \leq \frac{(\delta - 1)(\delta - 2)}{2} - \sum_{\xi \in X} \frac{\mu_\xi(X) (\mu_\xi(X) - 1)}{2}$$

par le théorème de Riemann-Roch sur les courbes planes.

Plus généralement, soit  $X \hookrightarrow \mathbb{P}_k^n$  une hypersurface projective sur un corps algébriquement clos  $k$ , dont le lieu singulier est de dimension 0. Par la méthode des pinceaux de Lefschetz, une conséquence directe de [12, Corollaire 4.2.1] donne

$$\sum_{\xi \in X} \mu_\xi(X) (\mu_\xi(X) - 1)^{n-1} \leq \delta(\delta - 1)^{n-1}.$$

Mais ces conditions sont trop restrictives pour un problème de comptage de multiplicités.

**1.2. Résultat principal.** — Dans cet article, on considère le problème de comptage des multiplicités dans un schéma sur un corps fini. On prend une fonction de comptage, et on donnera une majoration du comptage de la fonction de comptage pour une hypersurface projective. Le résultat (le théorème 5.1) est suivant :

**Théorème 1.1.** — Soit  $X$  une hypersurface réduite de degré  $\delta$  dans un espace projectif  $\mathbb{P}_{\mathbb{F}_q}^n$ , où  $n \geq 2$  est un entier. Soit  $s$  la dimension du lieu singulier de  $X$ . On a

$$(2) \quad \sum_{\xi \in X(\mathbb{F}_q)} \mu_\xi(X)(\mu_\xi(X) - 1)^{n-s-1} \ll_n \delta(\delta - 1)^{n-s-1} \max\{\delta - 1, q\}^s.$$

On explicitera la constante implicite dans l'estimation (2) dans le théorème 1.1.

**1.3. Motivation.** — Soit  $X$  un schéma noethérien réduit qui est de dimension pure, comme le lieu régulier  $X^{\text{reg}}$  est un ouvert dense dans  $X$ , on a  $\text{codim}(X, X^{\text{sing}}) \geq 1$ , où  $X^{\text{sing}}$  est le lieu singulier de  $X$ .

Si on veut décrire la complexité du lieu singulier de  $X$  plus précisément, il n'est pas suffisant de considérer seulement la dimension de  $X^{\text{sing}}$ . Soit  $X$  un sous-schéma fermé de  $\mathbb{P}_k^n$ . Pour décrire la complexité de  $X^{\text{sing}}$ , il faut considérer la dimension de  $X^{\text{sing}}$ , le degré de  $X^{\text{sing}}$  et la multiplicité de  $X^{\text{sing}}$  dans  $X$  (ou les multiplicités des points singuliers de  $X$ ). Il faut choisir une fonction convenable de comptage de multiplicités  $f(\cdot)$  telle que  $f(1) = 0$ .

D'après le théorème 1.1, lorsque  $X$  est une hypersurface d'un espace projectif sur un corps fini, les trois invariants ne peuvent pas être trop grands simultanément, qui signifie que le lieu singulier de  $X$  ne peut pas être "trop compliqué". Dans la remarque 5.12, on expliquera pourquoi la fonction de comptage  $\mu_\xi(X)(\mu_\xi(X) - 1)^{n-s-1}$  dans l'inégalité (2) est un choix convenable. Alors l'inégalité (2) est une description convenable de la complexité du lieu singulier de  $X$  lorsque  $q$  est assez grand.

**1.4. Outils principaux.** — Contrairement aux méthodes classiques comme par exemple la cohomologie étale ou la somme exponentielle, on utilise la théorie d'intersection pour avoir un bon contrôle des multiplicités.

On considère une hypersurface réduite projective  $X \hookrightarrow \mathbb{P}_{\mathbb{F}_q}^n$  dont le lieu singulier est de dimension  $s$ . Soit  $Y$  un sous-schéma intègre de  $X$ . Alors il existe un sous-ensemble dense  $Y'$  de  $Y$ , tel que pour tout point  $\xi \in Y'$ , on ait  $\mu_\xi(X) = \mu_Y(X)$ . On cherche une famille  $\{X_i\}_{i=1}^{n-s-1}$  d'hypersurfaces de  $\mathbb{P}^n$  contenant  $\xi$  telle que  $X, X_1, \dots, X_{n-s-1}$  s'intersectent proprement et qu'il existe une composante irréductible  $Y$  de l'intersection de  $X, X_1, \dots, X_{n-s-1}$  contenant  $\xi$  et vérifiant  $\mu_\xi(X) = \mu_Y(X)$ . La construction de ces hypersurfaces fait intervenir des dérivées partielles (éventuellement d'ordre supérieur) de l'équation qui définit  $X$ , et la construction se fait de manière récursive. Pour cela, on introduit une notion appelée "arbre d'intersection" en langage de la théorie des graphes, voir §2.1. Un arbre d'intersection est un arbre étiqueté avec poids engendrés par les intersections de  $X$  et certaines de ses hypersurfaces dérivées (voir la définition 5.7), dont les sommets sont des sous-schémas intègres de  $X$ , les étiquettes sont des hypersurfaces dérivées, et les poids sur ses arêtes sont les multiplicités d'intersection correspondantes à l'intersection du sommet et de son étiquette.

Comme  $X$  est une hypersurface, on peut estimer la fonction  $\mu_Y(X)(\mu_Y(X) - 1)^{n-s-1}$  par les poids définis ci-dessus. D'après le théorème de Bézout (le théorème

3.4), la somme des poids peut être bornée par le degré de  $X$  par rapport au fibré universel de  $X$ .

Pour une majoration utile du nombre de points  $\mathbb{F}_q$ -rationnels d'une composante irréductible fixée, on utilise l'estimation dans la proposition 3.20.

Dans la première section, on introduira la définition de l'arbre d'intersection afin de décrire la suite des intersections mentionnée ci-dessus. Dans la deuxième section, on démontrera certains résultats utiles de la théorie d'intersection et du comptage de objets sur un corps fini. Ils sont des résultats préliminaires pour le travail dans la suite. Dans la troisième section, on raisonnera par récurrence pour démontrer un résultat, qui est une majoration du produit des multiplicités en les poids dans les arbres d'intersection. Dans la quatrième section, on construira les intersection afin de démontrer l'inégalité (2), et on finira la démonstration.

**Remerciement.** — Ce travail fait partie de ma thèse préparée à l'Université Paris Diderot - Paris 7. D'abord, je voudrais remercier profondément mes directeurs de thèse Huayi Chen et Marc Hindry pour diriger ma thèse. De plus, je voudrais remercier Qing Liu pour me donner beaucoup de suggestions pour ce travail. Je voudrais remercier mes amis Yang Cao et Xiaowen Hu pour leur aide à ce travail.

## 2. Arbre d'intersection

Dans ce paragraphe, on introduit la notion d'arbre d'intersection dans le cadre de la théorie des graphes, qui sera utilisée dans l'estimation de la fonction de comptage de multiplicités. Cette construction est valable dans un cadre général des schémas projectifs réguliers sur un corps munis d'un faisceau inversible ample. Dans ce paragraphe, on fixe un corps  $k$ .

**2.1. Définition.** — Soient  $Y$  un  $k$ -schéma projectif régulier et  $L$  un  $\mathcal{O}_Y$ -module inversible ample. Si  $X$  est un sous-schéma fermé de  $Y$ , on désigne par  $\deg_L(X)$  le degré de  $X$  par rapport au  $\mathcal{O}_Y$ -module inversible  $L$ , qui est défini comme  $\deg(c_1(L)^{\dim(X)} \cap [X])$ . Soit  $\delta \geq 1$  un entier. On appelle *arbre d'intersection de niveau  $\delta$*  sur  $Y$  tout arbre  $\mathcal{T}$  étiqueté et avec poids (sur les arêtes) qui vérifie les conditions suivantes :

1. les sommets de  $\mathcal{T}$  sont des occurrences de sous-schémas fermés intègres de  $Y$  (un sous-schéma fermé intègre de  $Y$  peut apparaître plusieurs fois dans l'arbre) ;
2. à chaque sommet  $X$  de  $\mathcal{T}$  est attachée une étiquette, qui est un sous-schéma fermé propre de dimension pure de  $Y$  ou vide ;
3. un sommet de  $\mathcal{T}$  est une feuille si et seulement si son étiquette est vide ;
4. si  $X$  est un sommet de  $\mathcal{T}$  qui n'est pas une feuille, alors
  - son étiquette  $\tilde{X}$  vérifie l'inégalité  $\deg_L(\tilde{X}) \leq \delta$  et les sous-schémas fermés  $X$  et  $\tilde{X}$  s'intersectent proprement dans  $Y$  ;
  - les fils de  $X$  sont précisément les composantes irréductibles du produit d'intersection  $X \cdot \tilde{X}$  dans  $Y$  ;
  - pour tout fils  $Z$  de  $X$ , à l'arête  $\ell$  qui relie  $X$  et  $Z$  est attaché un poids  $w(\ell)$  qui est égal à la multiplicité d'intersection  $i(Z; X \cdot \tilde{X}; Y)$ .

Pour un arbre d'intersection  $\mathcal{T}$  fixé, on appelle *sous-arbre d'intersection* de  $\mathcal{T}$  tout sous-arbre complet de  $\mathcal{T}$ , qui est nécessairement un arbre d'intersection.

*Poids d'un sommet.* — Soient  $Y$  un schéma projectif régulier sur  $\text{Spec } k$ , muni d'un faisceau inversible ample  $L$ , et  $\mathcal{T}$  un arbre d'intersection sur  $Y$ . Pour tout sommet  $X$  de  $\mathcal{T}$ , on définit le *poids* de  $X$  comme le produit des poids de tous les arêtes dans le chemin qui relie la racine de  $\mathcal{T}$  et le sommet  $X$ , noté comme  $w_{\mathcal{T}}(X)$ . Si  $X$  est la racine de l'arbre d'intersection, par convention  $w_{\mathcal{T}}(X)$  est défini comme 1.

*Poids d'un sous-schéma fermé intègre.* — Soit  $Z$  un sous-schéma fermé intègre de  $Y$ . On appelle *poids* de  $Z$  relativement à l'arbre  $\mathcal{T}$  la somme des poids de toutes les occurrences de  $Z$  comme sommets de  $\mathcal{T}$ , noté comme  $W_{\mathcal{T}}(Z)$ . Si  $Z$  n'apparaît pas dans l'arbre  $\mathcal{T}$  comme un sommet, par convention le poids  $W_{\mathcal{T}}(Z)$  est défini comme 0. Soit  $Z$  un sommet dans l'arbre d'intersection  $\mathcal{T}$ . Lorsque l'on calcule  $W_{\mathcal{T}}(Z)$ , l'élément  $Z$  est considéré comme un sous-schéma fermé intègre de  $Y$ . C'est-à-dire que l'on compte toutes les occurrences de  $Z$  dans l'arbre d'intersection  $\mathcal{T}$ .

Dans les sous-paragraphe suivants, on rappelle quelques notions que l'on utilise dans la définition d'arbre d'intersection. Sauf mention au contraire, tous les anneaux sont supposés être commutatifs, unifères et noethériens.

**2.2. Suite de composition.** — Soient  $A$  un anneau et  $M$  un  $A$ -module. On dit que  $M$  est *de longueur finie* s'il existe une suite décroissante de sous-modules de  $M$  (appelée une *suite de composition* de  $M$ )

$$M = M_0 \supsetneq M_1 \supsetneq \cdots \supsetneq M_n = \{0\}$$

telle que chaque sous-quotient  $M_{i-1}/M_i$  soit un  $A$ -module simple (i.e. isomorphe à un module quotient de  $A$  par un idéal maximal), où  $i \in \{1, \dots, n\}$ . Il s'avère que le nombre  $n$  ne dépend pas du choix de la suite de composition. On l'appelle *longueur* du module  $M$ , notée comme  $\ell_A(M)$ , ou comme  $\ell(M)$  pour simplifier. La longueur du module nul est 0. On rappelle que, si  $A$  est un anneau artinien (i.e. un anneau noethérien non-nul dont tout idéal premier est maximal), alors tout  $A$ -module de type fini est de longueur finie. On revoie les lecteurs à [3, §2.4] pour plus de détails.

**2.3. Multiplicités de modules et d'anneaux.** — Dans cette partie, on rappelle quelques notions de multiplicité dans le cadre d'algèbres commutatives.

*Multiplicité d'un module.* — Soit  $A$  un anneau dont la dimension est plus grande ou égale à 1. Soient  $d$  un entier,  $d \geq 1$ ,  $M$  un  $A$ -module de type fini avec  $\dim_A(M) = d$ , et  $\mathfrak{a}$  un idéal de  $A$  contenu dans le radical de Jacobson de  $A$  tel que l'anneau quotient  $A/\mathfrak{a}$  soit artinien. Pour tout entier naturel  $m$ , soit  $H_{\mathfrak{a}, M}(m) = \ell_{A/\mathfrak{a}}(\mathfrak{a}^m M / \mathfrak{a}^{m+1} M)$ . Il existe un polynôme  $P_{\mathfrak{a}, M}$  dont le degré est plus petit ou égal à  $d - 1$ , tel que  $H_{\mathfrak{a}, M}(m) = P_{\mathfrak{a}, M}(m)$  pour  $m$  assez positif. En outre, il existe un entier  $e_{\mathfrak{a}, M} \geq 0$  tel que

$$P_{\mathfrak{a}, M}(m) = e_{\mathfrak{a}, M} \frac{m^{d-1}}{(d-1)!} + o(m^{d-1}).$$

Le nombre entier  $e_{\mathfrak{a},M}$  est appelé la *multiplicité* de  $M$  relativement à l'idéal  $\mathfrak{a}$ . Lorsque  $A$  est un anneau local et  $M \neq \{0\}$ , on a toujours  $e_{\mathfrak{a},M} > 0$  (cf. [3, Exercice 12.6]). Si  $M = A$ , le nombre  $e_{\mathfrak{a},A}$  est appelé la *multiplicité* de l'idéal  $\mathfrak{a}$  dans  $A$ .

Avec les mêmes notations ci-dessus, on considère la fonction  $L_{\mathfrak{a},M}(m) = \ell_{A/\mathfrak{a}}(M/\mathfrak{a}^{m+1}M)$ . Il existe un polynôme  $Q_{\mathfrak{a},M}$  dont le degré est plus petit ou égal à  $d$ , tel que  $Q_{\mathfrak{a},M}(m) = L_{\mathfrak{a},M}(m)$  pour  $m$  assez positif. De plus, on a

$$Q_{\mathfrak{a},M}(m) = e_{\mathfrak{a},M} \frac{m^d}{d!} + o(m^d).$$

Soient  $\mathfrak{a}$  et  $\mathfrak{b}$  deux idéaux de  $A$  contenus dans le radical de Jacobson de  $A$ , tels que  $A/\mathfrak{a}$  et  $A/\mathfrak{b}$  soient artiniens. Si  $\mathfrak{a} \subseteq \mathfrak{b}$ , d'après [22, Chap II, §3, a], on a  $Q_{\mathfrak{a},M}(m) \geq Q_{\mathfrak{b},M}(m)$ . Alors on obtient l'inégalité

$$(3) \quad e_{\mathfrak{a},M} \geq e_{\mathfrak{b},M}.$$

Si  $A$  est un anneau local, on peut exprimer la multiplicité  $e_{\mathfrak{a},M}$  comme une somme locale

$$(4) \quad e_{\mathfrak{a},M} = \sum_{\mathfrak{p}} \ell_{A_{\mathfrak{p}}}(M_{\mathfrak{p}}) \cdot e_{\mathfrak{a},A/\mathfrak{p}},$$

où  $\mathfrak{p}$  parcourt l'ensemble des idéaux premiers minimaux de  $A$  tels que  $\dim(A) = \dim(A/\mathfrak{p})$  (voir [2, Chap. VIII, §7, n° 1, Prop. 3] pour une démonstration).

*Multiplicité d'un anneau local.* — Soient  $A$  un anneau local,  $\mathfrak{m}$  son idéal maximal et  $k = A/\mathfrak{m}$  son corps résiduel. La *multiplicité* de  $A$  est définie comme la multiplicité de l'idéal maximal  $\mathfrak{m}$  dans  $A$ . Il s'avère que  $e_{\mathfrak{m},A} > 0$  (cf. [3, Exercice 12.6]).

On rappelle que l'inégalité  $\dim(A) \leq \dim_k(\mathfrak{m}/\mathfrak{m}^2)$  est toujours vérifiée (cf. [14, (12.J)]). Si on a l'égalité  $\dim(A) = \dim_k(\mathfrak{m}/\mathfrak{m}^2)$ , on dit que  $A$  est un *anneau local régulier*. Si  $A$  est un anneau local régulier, alors  $\bigoplus_{i \geq 0} \mathfrak{m}^i/\mathfrak{m}^{i+1}$  est isomorphe à

$\bigoplus_{i \geq 0} \text{Sym}_k^i(\mathfrak{m}/\mathfrak{m}^2)$  comme  $k$ -algèbres graduées. Dans ce cas-là, la multiplicité de  $A$  est

1 (cf. [14, §14]). La réciproque n'est pas vraie : il existe des anneaux locaux de multiplicité 1 qui ne sont pas réguliers (voir l'exercice 2.5 dans la page 41 de [21] pour un contre-exemple). Elle est vraie lorsque  $\text{Spec } A$  est de dimension pure. On revoit les lecteurs à [18, (40.6)] pour une démonstration.

**2.4. Notions de la théorie d'intersection.** — Dans cette partie, on rappelle certaines notions de la théorie classique d'intersection. La référence principale est [23], dont l'approche est équivalente à celle de [5], voir [5, Example 7.1.1] et la partie e) dans la page 84 de [23].

*Multiplicité le long d'un sous-schéma fermé.* — Soit  $X$  un schéma localement noethérien. Si  $\xi$  est un point de  $X$ , on désigne par  $\mu_{\xi}(X)$  la multiplicité de l'anneau local  $\mathcal{O}_{X,\xi}$ . Si  $Y$  est un sous-schéma fermé intègre de  $X$  dont le point générique est  $\eta_Y$ , on désigne par  $\mathcal{O}_{X,Y}$  l'anneau local  $\mathcal{O}_{X,\eta_Y}$  pour simplifier, et on désigne par  $\mu_Y(X)$  la multiplicité de l'anneau  $\mathcal{O}_{X,Y}$ .

*Lieu régulier et lieu singulier.* — Soit  $X$  un schéma. On désigne par  $X^{\text{reg}}$  l'ensemble des points  $\xi \in X$  tels que  $\mathcal{O}_{X,\xi}$  soit un anneau local régulier, appelé le *lieu régulier* de  $X$ . Si  $X^{\text{reg}} = X$ , on dit que  $X$  est un *schéma régulier*. Soit en outre  $X^{\text{sing}}$  le complémentaire  $X \setminus X^{\text{reg}}$ , appelé le *lieu singulier* de  $X$ . Si  $X$  est localement de type fini sur le spectre d'un corps, l'ensemble  $X^{\text{reg}}$  est un ouvert Zariski de  $X$  (cf. [10, Corollary 8.16, Chap. II]), et donc l'ensemble des points de multiplicité 1 est dense dans  $X$  si  $X$  est irréductible et  $X^{\text{reg}} \neq \emptyset$ .

*Multiplicité d'intersection.* — Soit  $X$  un schéma noethérien de dimension finie. On dit que  $X$  est de *dimension pure* si toutes les composantes irréductibles de  $X$  ont la même dimension.

Soit  $k$  un corps. Soit  $Y$  un schéma régulier de type fini sur  $\text{Spec } k$  tel que le morphisme canonique  $Y \rightarrow \text{Spec } k$  soit séparé, et soient  $X_1, \dots, X_r$  des sous-schémas fermés de dimension pure de  $Y$ . On désigne par  $\Delta : Y \rightarrow Y^{\times_k r}$  le morphisme diagonal. Il s'avère que le produit fibré de  $\Delta(Y)$  et  $X_1 \times_k \dots \times_k X_r$  sur  $Y^{\times_k r}$  est isomorphe à l'intersection schématique  $\bigcap_{i=1}^r X_i$ . Ainsi on peut considérer  $\bigcap_{i=1}^r X_i$  comme un sous-schéma fermé de  $X_1 \times_k \dots \times_k X_r$ . Soit  $\mathcal{I}$  le faisceau d'idéaux de  $\mathcal{O}_{X_1 \times_k \dots \times_k X_r}$  correspondant à  $\bigcap_{i=1}^r X_i$ .

Soit  $M$  une composante irréductible de  $\bigcap_{i=1}^r X_i$  considérée comme un sous-schéma fermé intègre de  $Y$ . On désigne par  $\Delta(M)$  le sous-schéma fermé intègre de  $X_1 \times_k \dots \times_k X_r$  l'image de  $M$  par le morphisme diagonal (qui est une immersion fermée car  $Y$  est séparé sur  $\text{Spec } k$ ). Soit  $\eta_M$  le point générique de  $\Delta(M)$ . L'idéal  $\mathcal{I}_{\eta_M}$  est appelé *l'idéal diagonal* de l'anneau  $\mathcal{O}_{X_1 \times_k \dots \times_k X_r, \Delta(M)}$ . On définit la *multiplicité d'intersection* de  $X_1, \dots, X_r$  en  $M$  comme la multiplicité de l'idéal  $\mathcal{I}_{\eta_M}$  dans l'anneau local  $\mathcal{O}_{X_1 \times_k \dots \times_k X_r, \Delta(M)}$ , notée comme

$$i(M; X_1 \times_k \dots \times_k X_r; Y).$$

Si un schéma intègre  $N$  de  $Y$  n'est pas une composante irréductible de  $X_1 \cap \dots \cap X_r$ , on définit

$$i(N; X_1 \times_k \dots \times_k X_r; Y) = 0$$

par convention. On revoie les lecteurs à la page 148 de [26] et la page 77 de [23] pour plus de détails de cette définition (voir aussi les chapitres 7 et 8 de [5] pour une autre définition équivalente).

*Composantes propres.* — Soit  $k$  un corps. Soient  $Y$  un  $k$ -schéma régulier séparé de type fini, et  $X_1, \dots, X_r$  des sous-schémas fermés de dimension pure de  $Y$ . On désigne par  $\mathcal{C}(X_1 \times_k \dots \times_k X_r)$  l'ensemble des composantes irréductibles de l'intersection schématique  $X_1 \cap \dots \cap X_r$ . En particulier, si  $X$  est un sous-schéma fermé de dimension pure de  $Y$ , alors  $\mathcal{C}(X)$  désigne l'ensemble des composantes irréductibles de  $X$ . Sauf spécifiquement mentionné, toute composante irréductible dans  $\mathcal{C}(X_1 \times_k \dots \times_k X_r)$  ou  $\mathcal{C}(X)$  est considérée comme un sous-schéma fermé intègre de  $Y$ .

On rappelle que l'on a (cf. [24, Chap. III, Prop. 17])

$$\dim(M) \geq \dim(X_1) + \dots + \dim(X_r) - (r-1) \dim(Y)$$

pour tout  $M \in \mathcal{C}(X_1 \times_k \dots \times_k X_r)$ . On dit que les schémas  $X_1, \dots, X_r$  *s'intersectent proprement* en  $M$  dans  $Y$ , ou encore  $M$  est une *composante propre* de l'intersection

$X_1 \cdot \dots \cdot X_r$  dans  $Y$ , si  $M \in \mathcal{C}(X_1 \cdot \dots \cdot X_r)$  et si l'égalité

$$\dim(M) = \dim(X_1) + \dots + \dim(X_r) - (r-1)\dim(Y)$$

est vérifiée. On dit que  $X_1, \dots, X_r$  s'intersectent proprement si tout élément  $M \in \mathcal{C}(X_1 \cdot \dots \cdot X_r)$  est une composante propre de l'intersection  $X_1 \cdot \dots \cdot X_r$  dans  $Y$ .

### 3. Estimation de poids des arbres d'intersection

**3.1. Énoncé du théorème.** — Dans tout le paragraphe, on fixe un corps  $k$ , un entier  $n \geq 1$  et un espace vectoriel  $E$  de rang  $n+1$  sur  $k$ . On définit l'espace projectif  $\mathbb{P}(E)$  comme le schéma qui représente le foncteur de la catégorie des  $k$ -algèbres commutatives dans la catégorie des ensembles, qui envoie toute  $k$ -algèbre commutative  $A$  sur l'ensemble des  $A$ -modules quotients de  $E \otimes_k A$  qui sont projectifs de rang 1. De plus, on désigne par  $\mathbb{P}_k^n$  l'espace projectif  $\mathbb{P}(k^{n+1})$  pour simplifier, ou par  $\mathbb{P}^n$  s'il n'y a pas d'ambiguïté sur  $k$ . Si  $L$  est le faisceau inversible universel  $\mathcal{O}_{\mathbb{P}(E)}(1)$ , le degré de  $X$  par rapport à  $\mathcal{O}_{\mathbb{P}(E)}(1)$  est noté comme  $\deg(X)$  pour simplifier.

Soient  $\{X_i\}_{i=1}^r$  une famille de sous-schémas fermés de dimension pure de  $\mathbb{P}(E)$  qui s'intersectent proprement dans  $\mathbb{P}(E)$  (voir §2.4 pour la définition). On établira le théorème suivant, qui peut être considéré comme une majoration du produit des multiplicités locales de  $X_1, \dots, X_r$  en fonction des arbres d'intersections.

**Théorème 3.1.** — *On suppose que  $k$  est un corps parfait. Soient  $\{X_i\}_{i=1}^r$  une famille de sous-schémas fermés de dimension pure de  $\mathbb{P}(E)$  qui s'intersectent proprement dans  $\mathbb{P}(E)$ . Pour tout composante irréductible  $Y \in \mathcal{C}(X_1 \cdot \dots \cdot X_r)$ . Soit un arbre d'intersection  $\mathcal{T}_Y$  ayant  $Y$  comme racine. On considère un sommet  $M$  dans les arbres d'intersection  $\{\mathcal{T}_Y\}_{Y \in \mathcal{C}(X_1 \cdot \dots \cdot X_r)}$  vérifiant : pour tout sommet  $Z$  dans  $\{\mathcal{T}_Y\}_{Y \in \mathcal{C}(X_1 \cdot \dots \cdot X_r)}$ , si  $M$  est un sous-schéma propre de  $Z$ , alors il existe un descendant de  $Z$  qui est une occurrence de  $M$  comme schémas. Alors l'inégalité suivante est satisfaite :*

$$(5) \quad \sum_{Y \in \mathcal{C}(X_1 \cdot \dots \cdot X_r)} W_{\mathcal{T}_Y}(M) i(Y; X_1 \cdot \dots \cdot X_r; \mathbb{P}(E)) \geq \mu_M(X_1) \cdots \mu_M(X_r),$$

où l'expression  $\mu_M(X_i)$  désigne la multiplicité de l'anneau local de  $X_i$  en le point générique de  $M$ .

On rappelle que la *profondeur* d'un sommet est définie comme la longueur du chemin qui relie ce sommet et la racine de l'arbre. En outre, la *profondeur* d'un arbre est définie comme la valeur maximale des profondeurs de ses sommets.

**Exemple 3.2.** — On va donner un exemple de l'opération dans le théorème 3.1. On prend  $\mathbb{P}(E) = \mathbb{P}_k^4 = \text{Proj}(k[T_0, T_1, T_2, T_3, T_4])$  comme le schéma de base. Soient

$$X_1 = \text{Proj}(k[T_0, T_1, T_2, T_3, T_4]/(T_4)),$$

et

$$X_2 = \text{Proj}(k[T_0, T_1, T_2, T_3, T_4]/(T_3(T_0^2 T_1 - T_2^3 + T_2^2 T_1))).$$

Alors on a  $\deg(X_1) = 1$  et  $\deg(X_2) = 4$ . Les schémas  $X_1$  et  $X_2$  s'intersectent proprement dans  $\mathbb{P}_k^4$ . L'intersection de  $X_1$  et  $X_2$  admet deux composantes irréductibles, notées comme  $Y_1$  et  $Y_2$ . Soient

$$Y_1 = \text{Proj}(k[T_0, T_1, T_2, T_3, T_4]/(T_0^2 T_1 - T_2^3 + T_2^2 T_1, T_4))$$

un élément dans  $\mathcal{C}(X_1 \cdot X_2)$ , et

$$Y_2 = \text{Proj}(k[T_0, T_1, T_2, T_3, T_4]/(T_3, T_4))$$

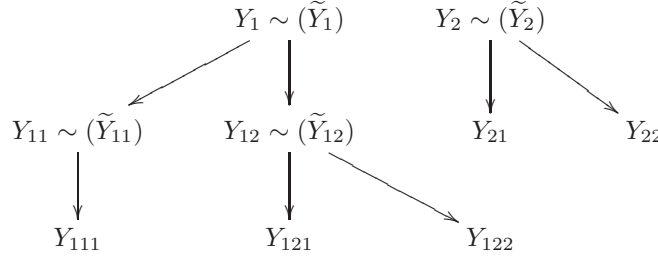
un autre élément dans  $\mathcal{C}(X_1 \cdot X_2)$ . Alors par définition, on a

$$i(Y_1; X_1 \cdot X_2; \mathbb{P}_k^4) = 1, \deg(Y_1) = 3;$$

et

$$i(Y_2; X_1 \cdot X_2; \mathbb{P}_k^4) = 1, \deg(Y_2) = 1.$$

On va construire deux arbres d'intersection suivants dont les racines sont  $Y_1$  et  $Y_2$ .



On suppose que l'étiquette de  $Y_1$  est l'hypersurface

$$\tilde{Y}_1 = \text{Proj}(k[T_0, T_1, T_2, T_3, T_4]/(T_1 T_3)), \deg(\tilde{Y}_1) = 2,$$

et l'étiquette de  $Y_2$  est

$$\tilde{Y}_2 = \text{Proj}(k[T_0, T_1, T_2, T_3, T_4]/(T_2, T_0(T_1 + T_0))). \deg(\tilde{Y}_2) = 2.$$

Alors on peut confirmer que l'intersection de  $Y_1$  et  $\tilde{Y}_1$  et l'intersection  $Y_2$  et  $\tilde{Y}_2$  sont propres.

Dans la suite, on considère l'arbre d'intersection ayant  $Y_2$  comme racine. En fait, il a deux composantes irréductibles, notées comme  $Y_{21}$  et  $Y_{22}$ . Par définition, on obtient

$$Y_{21} = [0 : 1 : 0 : 0 : 0], i(Y_{21}; Y_2 \cdot \tilde{Y}_2; \mathbb{P}_k^4) = 1;$$

et

$$Y_{22} = [1 : -1 : 0 : 0 : 0], i(Y_{22}; Y_2 \cdot \tilde{Y}_2; \mathbb{P}_k^4) = 1.$$

Pour l'arbre dont la racine est  $Y_1$ , l'ensemble  $\mathcal{C}(Y_1 \cdot \tilde{Y}_1)$  a deux éléments, notés comme  $Y_{11}$  et  $Y_{12}$  respectivement. On suppose

$$Y_{11} = \text{Proj}(k[T_0, T_1, T_2, T_3, T_4]/(T_1, T_2, T_4))$$

et

$$Y_{12} = \text{Proj}(k[T_0, T_1, T_2, T_3, T_4]/(T_0^2 T_1 - T_2^3 + T_2^2 T_1, T_3, T_4))$$

Alors on a

$$i(Y_{11}; Y_1 \cdot \tilde{Y}_1; \mathbb{P}_k^4) = 3, \deg(Y_{11}) = 1;$$

et

$$i(Y_{12}; Y_1 \cdot \tilde{Y}_1; \mathbb{P}_k^4) = 1, \deg(Y_{12}) = 3.$$

L'égalité  $i(Y_{11}; Y_1 \cdot \tilde{Y}_1; \mathbb{P}_k^4) = 3$  est d'après que l'anneau local en  $Y_{11}$  est Cohen-Macaulay, par [5, Proposition 7.1], cette multiplicité d'intersection est égale à  $\ell(\mathcal{O}_{Y_1 \cap \tilde{Y}_1, Y_{11}})$ , qui est égal à 3. Soient

$$\tilde{Y}_{11} = \text{Proj}(k[T_0, T_1, T_2, T_3, T_4]/(T_0 + T_3)), \deg(\tilde{Y}_{11}) = 1$$

l'étiquette de  $Y_{11}$ , et

$$\tilde{Y}_{12} = \text{Proj}(k[T_0, T_1, T_2, T_3, T_4]/(T_2)), \deg(\tilde{Y}_{12}) = 1$$

l'étiquette de  $Y_{12}$ . Alors on obtient que l'intersection de  $Y_{11}$  et  $\tilde{Y}_{11}$  admet une composante irréductible, et que l'intersection de  $Y_{12}$  et  $\tilde{Y}_{12}$  admet deux composantes irréductibles notées comme  $Y_{121}$  et  $Y_{122}$ . De plus, on a

$$Y_{111} = [1 : 0 : 0 : -1 : 0], i(Y_{111}; Y_{11} \cdot \tilde{Y}_{11}; \mathbb{P}_k^4) = 1,$$

et

$$Y_{121} = [0 : 1 : 0 : 0 : 0], i(Y_{121}; Y_{12} \cdot \tilde{Y}_{12}; \mathbb{P}_k^4) = 2,$$

et

$$Y_{122} = [1 : 0 : 0 : 0 : 0], i(Y_{122}; Y_{12} \cdot \tilde{Y}_{12}; \mathbb{P}_k^4) = 1$$

par définition directement.

Soit  $M = [0 : 1 : 0 : 0 : 0]$ . On peut confirmer que les sommets  $Y_{121} = Y_{21} = M$  satisfont les conditions dans le théorème 3.1 considérés comme deux sous-schémas intègres de  $\mathbb{P}_k^4$ . Dans cet exemple, Le côté gauche de l'inégalité (5) égal à

$$\begin{aligned} & i(Y_1; X_1 \cdot X_2; \mathbb{P}_k^4) i(Y_{12}; Y_1 \cdot \tilde{Y}_1; \mathbb{P}_k^4) i(Y_{121}; Y_{12} \cdot \tilde{Y}_{12}; \mathbb{P}_k^4) \\ & + i(Y_2; X_1 \cdot X_2; \mathbb{P}_k^4) i(Y_{21}; Y_2 \cdot \tilde{Y}_2; \mathbb{P}_k^4) \\ & = 3. \end{aligned}$$

De plus, comme l'hypersurface  $X_1$  est régulière, on a

$$\mu_M(X_1) = 1;$$

en considérant le développement de Taylor de l'équation qui définit l'hypersurface  $X_2$ , on obtient

$$\mu_M(X_2) = 3.$$

Alors le côté droit de l'inégalité (5) égal à

$$\mu_M(X_1) \mu_M(X_2) = 3.$$

Donc on a l'inégalité

$$\begin{aligned} & i(Y_1; X_1 \cdot X_2; \mathbb{P}_k^4) i(Y_{12}; Y_1 \cdot \tilde{Y}_1; \mathbb{P}_k^4) i(Y_{121}; Y_{12} \cdot \tilde{Y}_{12}; \mathbb{P}_k^4) \\ & + i(Y_2; X_1 \cdot X_2; \mathbb{P}_k^4) i(Y_{21}; Y_2 \cdot \tilde{Y}_2; \mathbb{P}_k^4) \\ & \geq \mu_M(X_1) \mu_M(X_2), \end{aligned}$$

ce qui est un exemple du théorème 3.1.

**3.2. Résultats préliminaires.** — Dans cette partie, on introduira certains résultats préliminaires pour la démonstration du théorème 3.1.

*Commutativité et associativité d'intersection.* — La multiplicité d'intersection satisfait à la commutativité et la associativité au sens suivant. On revoit les lecteurs à [5, Proposition 8.1.1] pour une démonstration.

**Théorème 3.3.** — *Soient  $X_1, X_2, X_3$  trois sous-schémas fermés de dimension pure d'un schéma séparé régulier  $Y$  de type fini sur  $\text{Spec } k$ . On a les propriétés suivantes :*

(i). **(commutativité)** : pour tout  $M \in \mathcal{C}(X_1 \cdot X_2) = \mathcal{C}(X_2 \cdot X_1)$ , on a

$$i(M; X_1 \cdot X_2; Y) = i(M; X_2 \cdot X_1; Y);$$

(ii). **(associativité)** : si  $X_1, X_2, X_3$  s'intersectent proprement en  $M \in \mathcal{C}(X_1 \cdot X_2 \cdot X_3)$ , alors on a :

$$\begin{aligned} i(M; X_1 \cdot X_2 \cdot X_3; Y) &= \sum_{P \in \mathcal{C}(X_1 \cdot X_2)} i(M; P \cdot X_3; Y) \cdot i(P; X_1 \cdot X_2; Y) \\ &= \sum_{Q \in \mathcal{C}(X_2 \cdot X_3)} i(M; Q \cdot X_1; Y) \cdot i(Q; X_2 \cdot X_3; Y), \end{aligned}$$

voir §2.4 pour les notations de  $\mathcal{C}(X_1 \cdot X_2 \cdot X_3)$ ,  $\mathcal{C}(X_1 \cdot X_2)$  et  $\mathcal{C}(X_2 \cdot X_3)$ .

**Théorème de Bézout.** — Le théorème de Bézout est une description de la complexité d'une intersection propre dans  $\mathbb{P}(E)$  en termes de degrés rapport au fibré universel.

**Théorème 3.4 (le théorème de Bézout).** — *Soient  $X_1, \dots, X_r$  des sous-schémas fermés de dimension pure de  $\mathbb{P}(E)$ , qui s'intersectent proprement. Alors on a*

$$\sum_{Z \in \mathcal{C}(X_1 \cdot \dots \cdot X_r)} i(Z; X_1 \cdot \dots \cdot X_r; \mathbb{P}(E)) \deg(Z) = \deg(X_1) \cdots \deg(X_r).$$

On revoit les lecteurs à [5, Proposition 8.4] pour plus détails, voir l'égalité (1) dans la page 145 de [5] aussi.

*Invariance par extension de corps.* — Soient  $X$  un schéma sur le corps  $k$  et  $k'/k$  une extension de corps. On désigne par  $X_{k'}$  le produit fibré  $X \times_{\text{Spec } k} \text{Spec } k'$ . De plus, soit  $E$  un espace  $k$ -vectoriel. On désigne par  $E_{k'}$  l'espace  $k'$ -vectoriel  $E \otimes_k k'$ .

Soient  $X_1, \dots, X_r$  des sous-schémas fermés de  $\mathbb{P}(E)$ ,  $M \in \mathcal{C}(X_1 \cdot \dots \cdot X_r)$ , et  $M' \in \mathcal{C}(M_{k'})$  (voir §2.4 pour les notations). On démontre que  $M' \in \mathcal{C}(X_{1,k'} \cdot \dots \cdot X_{r,k'})$  dans le lemme 3.6. De plus, lorsque  $k'/k$  est une extension galoisienne finie, on étudiera une relation entre  $i(M; X_1 \cdot \dots \cdot X_r; \mathbb{P}(E))$  et  $i(M'; X_{1,k'} \cdot \dots \cdot X_{r,k'}; \mathbb{P}(E_{k'}))$ . Soient  $X$  un sous-schéma fermé de  $\mathbb{P}(E)$ ,  $M$  un sous-schéma fermé intègre de  $X$ , et  $M' \in \mathcal{C}(M_{k'})$ . On obtient une relation entre  $\mu_M(X)$  et  $\mu_{M'}(X_{k'})$  si  $k'/k$  est galoisienne finie.

**Proposition 3.5.** — *Soient  $X$  un sous-schéma fermé de  $\mathbb{P}(E)$  de dimension pure, et  $Z$  un sous-schéma fermé intègre de  $X$ . Alors on a*

$$\deg(X) = \sum_{X' \in \mathcal{C}(X)} \ell_{\mathcal{O}_{X,X'}}(\mathcal{O}_{X,X'}) \deg(X').$$

et

$$\mu_Z(X) = \sum_{X' \in \mathcal{C}(X)} \ell_{\mathcal{O}_{X,X'}}(\mathcal{O}_{X,X'}) \mu_Z(X').$$

*Démonstration.* — Si on définit le degré d'un schéma projectif par la multiplicité d'un idéal (cf. [10, Chap. I, Proposition 7.5]), les deux égalités sont des conséquences directes de l'égalité (4). Si on prend la définition de degré d'un schéma projectif de dimension pure par le nombre d'intersection comme ci-dessus, on revoie les lecteurs à [5, Example 2.5.2 (b)] pour une démonstration.  $\square$

La proposition 3.5 sera utilisée dans les démonstrations des résultats au-dessous.

**Lemme 3.6.** — *Soit  $k$  un corps. Soient  $X_1, \dots, X_r$  des sous-schémas fermés de  $\mathbb{P}(E)$ , et  $Y \in \mathcal{C}(X_1 \cdot \dots \cdot X_r)$ . Soit  $k'/k$  une extension de corps. Alors pour toute composante irréductible  $Y' \in \mathcal{C}(Y_{k'})$ , on a  $Y' \in \mathcal{C}(X_{1,k'} \cdot \dots \cdot X_{r,k'})$ . De plus, l'application canonique*

$$\bigsqcup_{Y \in \mathcal{C}(X_1 \cdot \dots \cdot X_r)} \mathcal{C}(Y_{k'}) \rightarrow \mathcal{C}(X_{1,k'} \cdot \dots \cdot X_{r,k'})$$

*est une bijection. Autrement dit, pour tout  $Y' \in \mathcal{C}(X_{1,k'} \cdot \dots \cdot X_{r,k'})$ , il existe un et un unique  $Y \in \mathcal{C}(X_1 \cdot \dots \cdot X_r)$  tel que  $Y'$  soit une composante irréductible de  $Y_{k'}$ .*

*Démonstration.* — D'après [13, Proposition 3.2.7], pour tout  $Y' \in \mathcal{C}(Y_{k'})$ , on a  $\dim(Y') = \dim(Y_{k'}) = \dim(Y)$ .

Soit  $Z' \in \mathcal{C}(X_{1,k'} \cdot \dots \cdot X_{r,k'})$ . On considère le morphisme de projection  $\pi' : \mathbb{P}(E_{k'}) \rightarrow \mathbb{P}(E)$ . Par définition, on a  $\pi'(Z') \subseteq \bigcap_{i=1}^r X_i$ , alors on en déduit que le schéma  $\pi'(Z')$  est contenu dans un élément dans  $\mathcal{C}(X_1 \cdot \dots \cdot X_r)$ . Par le fait que  $Z' \subseteq \pi'(Z')_{k'}$ , on obtient que  $Z'$  est contenu dans un  $Y' \in \mathcal{C}(Y_{k'})$ , où  $Y \in \mathcal{C}(X_1 \cdot \dots \cdot X_r)$ .

Le morphisme  $\text{Spec } k' \rightarrow \text{Spec } k$  étant fini et fidèlement plat, il en est de même du morphisme de projection  $\pi : \mathbb{P}(E_{k'})^{\times_{k'} r} \rightarrow \mathbb{P}(E)^{\times_k r}$  (cf. [8, Corollaire 2.2.13 (i)]). Soit  $Y' \in \mathcal{C}(Y_{k'})$ . Soient  $\eta$  et  $\eta_0$  les points génériques de  $\Delta(Y)$  et  $\Delta(Y')$  respectivement, où les  $\Delta$  désignent les morphismes diagonaux. D'après [8, Proposition 2.3.4 (i)], le morphisme de projection  $\pi$  envoie  $\eta_0$  sur  $\eta$ . Si  $Z' \in \mathcal{C}(X_{1,k'} \cdot \dots \cdot X_{r,k'})$  qui est contenu dans  $\Delta(Y')$ , alors on a  $\pi(\Delta(Z')) = \Delta(Y)$ . Encore par [8, Proposition 2.3.4 (i)], on obtient que la codimension de  $Z'$  dans  $\mathbb{P}(E_{k'})$  est bornée supérieurement par celle de  $Y$  dans  $\mathbb{P}(E)$ , d'où  $\dim(Z') \geq \dim(Y) = \dim(Y_{k'})$  puisque les schémas algébriques sont caténaires. Donc on obtient  $Z' = Y'$ .  $\square$

La proposition suivante est l'invariance de la multiplicité d'intersection par une extension de corps finie. Certaines idées de la démonstration proviennent de [19].

**Proposition 3.7.** — *Soient  $X_1, \dots, X_r$  des sous-schémas fermés de  $\mathbb{P}(E)$ , et  $Y \in \mathcal{C}(X_1 \cdot \dots \cdot X_r)$ . Soit  $k'/k$  une extension galoisienne finie de corps. Alors pour toute composante irréductible  $Y' \in \mathcal{C}(Y_{k'})$  (on a  $Y' \in \mathcal{C}(X_{1,k'} \cdot \dots \cdot X_{r,k'})$  d'après le lemme 3.6), l'égalité*

$$i(Y'; X_{1,k'} \cdot \dots \cdot X_{r,k'}; \mathbb{P}(E_{k'})) = i(Y; X_1 \cdot \dots \cdot X_r; \mathbb{P}(E))$$

*est vérifiée.*

*Démonstration.* — D'abord, on considère le diagramme suivant :

$$\begin{array}{ccccc}
 \mathbb{P}(E_{k'}) & \xrightarrow{\Delta_{\mathbb{P}(E_{k'})/k}} & & & \\
 \Delta_{\mathbb{P}(E_{k'})/\mathbb{P}(E)} \searrow & & & & \\
 & \mathbb{P}(E_{k'})^{\times_{\mathbb{P}(E)} r} & \xrightarrow{\quad} & \mathbb{P}(E_{k'})^{\times_{k} r} & \\
 \pi \curvearrowleft & \downarrow & & \square & \downarrow \\
 & \mathbb{P}(E) & \xrightarrow{\Delta_{\mathbb{P}(E)/k}} & \mathbb{P}(E)^{\times_{k} r}, &
 \end{array}$$

où  $\Delta_{\mathbb{P}(E_{k'})/k}$ ,  $\Delta_{\mathbb{P}(E_{k'})/\mathbb{P}(E)}$ , et  $\Delta_{\mathbb{P}(E)/k}$  sont des morphismes diagonaux, et  $\pi$  est le morphisme canonique obtenu par le changement de base  $\text{Spec } k' \rightarrow \text{Spec } k$ .

D'après [9, Proposition (1.4.5), Chap. 0] et [9, Proposition (1.4.8), Chap. 0], le diagramme plus haut est commutatif.

Comme l'extension  $k'/k$  est séparable, le morphisme canonique  $\pi : \mathbb{P}(E_{k'}) \rightarrow \mathbb{P}(E)$  est étale et fini. De plus, le morphisme  $\Delta_{\mathbb{P}(E_{k'})/\mathbb{P}(E)}$  est une section du morphisme de projection (à une coordonnée arbitraire)

$$\mathbb{P}(E_{k'})^{\times_{\mathbb{P}(E)} r} \rightarrow \mathbb{P}(E_{k'}),$$

où la projection ci-dessus est étale et séparée. D'après [16, Corollary 3.12], pour tout sous-schéma fermé de  $\mathbb{P}(E_{k'})$ , le morphisme  $\Delta_{\mathbb{P}(E_{k'})/\mathbb{P}(E)}$  est un isomorphisme dans toute composante connexe de ce sous-schéma fermé. D'où l'on obtient que pour tout sous-schéma fermé intègre  $M$  de  $\mathbb{P}(E)$ , et tout  $M' \in \mathcal{C}(M_{k'})$ , l'idéal diagonal de l'anneau  $\mathcal{O}_{X_{1,k'} \times_k \dots \times_k X_{r,k'}, \Delta_{\mathbb{P}(E_{k'})/k}(M')}$  est un module obtenu de l'idéal diagonal de l'anneau  $\mathcal{O}_{X_1 \times_k \dots \times_k X_r, \Delta_{\mathbb{P}(E)/k}(M)}$  par extension des scalaires.

De plus, d'après [9, Proposition(1.4.8), Chap. 0], le diagramme

$$\begin{array}{ccc}
 \mathbb{P}(E_{k'}) & \xrightarrow{Id} & \mathbb{P}(E_{k'}) \\
 \downarrow \Delta_{\mathbb{P}(E_{k'})/k'} & & \downarrow \Delta_{\mathbb{P}(E_{k'})/k} \\
 \mathbb{P}(E_{k'})^{\times_{k'} r} & \xrightarrow{\quad} & \mathbb{P}(E_{k'})^{\times_{k} r} \\
 \downarrow & \square & \downarrow \\
 \text{Spec } k' & \xrightarrow{\quad} & \text{Spec}(k'^{\otimes_k r}),
 \end{array}$$

est commutatif, où  $\Delta_{\mathbb{P}(E_{k'})/k'}$  et  $\Delta_{\mathbb{P}(E_{k'})/k}$  sont des morphismes diagonaux. D'où l'on obtient que pour tout sous-schéma fermé intègre  $M' \in \mathcal{C}(M_{k'})$  défini ci-dessus, l'idéal diagonal de l'anneau  $\mathcal{O}_{X_{1,k'} \times_{k'} \dots \times_{k'} X_{r,k'}, \Delta_{\mathbb{P}(E_{k'})/k'}(M')}$  est un module obtenu de l'idéal diagonal de l'anneau  $\mathcal{O}_{X_{1,k'} \times_k \dots \times_k X_{r,k'}, \Delta_{\mathbb{P}(E_{k'})/k}(M')}$  par extension des scalaires sous le changement de base ci-dessus. Par conséquent, l'idéal diagonal de l'anneau  $\mathcal{O}_{X_{1,k'} \times_{k'} \dots \times_{k'} X_{r,k'}, \Delta_{\mathbb{P}(E_{k'})/k'}(M')}$  est un module obtenu de l'idéal diagonal de l'anneau  $\mathcal{O}_{X_1 \times_k \dots \times_k X_r, \Delta_{\mathbb{P}(E)/k}(M)}$  par extension scalaire par rapport au changement de base  $\text{Spec } k' \rightarrow \text{Spec } k$ .

Soient  $\mathcal{I}$  le faisceau d'idéaux de  $\mathcal{O}_{X_1 \times_k \cdots \times_k X_r}$  correspondant au sous-schéma fermé  $X_1 \cap \cdots \cap X_r$  via le morphisme diagonal, et  $\mathcal{I}'$  le faisceau d'idéaux de  $\mathcal{O}_{X_{1,k'} \times_{k'} \cdots \times_{k'} X_{r,k'}}$  correspondant au sous-schéma fermé  $X_{1,k'} \cap \cdots \cap X_{r,k'}$  via le morphisme diagonal (voir §1.2.4 pour la définition). On désigne par  $\Delta$  les morphismes diagonaux définis ci-dessus pour simplifier. De plus, soient  $\eta$  le point générique du  $\Delta(Y)$ , et  $\eta'$  le point générique de  $\Delta(Y')$ . Par l'argument ci-dessus, on a

$$\mathcal{I}_\eta \mathcal{O}_{X_{1,k'} \times_{k'} \cdots \times_{k'} X_{r,k'}, \Delta(Y')} = \mathcal{I}'_{\eta'} \mathcal{O}_{X_{1,k'} \times_{k'} \cdots \times_{k'} X_{r,k'}, \Delta(Y')}$$

comme idéaux de l'anneau  $\mathcal{O}_{X_{1,k'} \times_{k'} \cdots \times_{k'} X_{r,k'}, \Delta(Y')}$ .

On peut confirmer que  $\mathcal{O}_{X_{1,k'} \times_{k'} \cdots \times_{k'} X_{r,k'}, \Delta(Y')}$  est un  $\mathcal{O}_{X_1 \times_k \cdots \times_k X_r, \Delta(Y)}$ -module plat, car le morphisme canonique

$$(6) \quad \mathcal{O}_{X_1 \times_k \cdots \times_k X_r, \Delta(Y)} \hookrightarrow \mathcal{O}_{X_{1,k'} \times_{k'} \cdots \times_{k'} X_{r,k'}, \Delta(Y')}$$

est une composition d'une extension de corps et une localisation. De plus, comme l'extension  $k'/k$  est séparable, le morphisme (6) est étale.

On désigne par  $\kappa(Y)$  le corps résiduel du point générique de  $\Delta(Y)$  vu comme point schématique de  $X_1 \times_k \cdots \times_k X_r$ , et par  $\kappa(Y')$  le corps résiduel du point générique de  $\Delta(Y')$  vu comme point schématique de  $X_{1,k'} \times_{k'} \cdots \times_{k'} X_{r,k'}$ . Comme le morphisme (6) est étale, d'après [16, Proposition 3.2(e)], on a le diagramme cartésien suivant :

$$\begin{array}{ccc} \coprod_{Y' \in \mathcal{C}(Y_{k'})} \text{Spec } \kappa(Y') & \longrightarrow & \text{Spec } \kappa(Y) \\ \downarrow & \square & \downarrow \\ \text{Spec } (\mathcal{O}_{X_1 \times_k \cdots \times_k X_r, \Delta(Y)} \otimes_k k') & \longrightarrow & \text{Spec } \mathcal{O}_{X_1 \times_k \cdots \times_k X_r, \Delta(Y)} \\ \downarrow & \square & \downarrow \\ \text{Spec } k' & \longrightarrow & \text{Spec } k. \end{array}$$

Donc on obtient l'égalité

$$(7) \quad \sum_{Y' \in \mathcal{C}(Y_{k'})} [\kappa(Y') : \kappa(Y)] = [k' : k],$$

car le changement de base est étale.

D'après [22, Chap. II, n° 5, f, coro. 2], on obtient

$$[k' : k] e_{\mathcal{I}_\eta, \mathcal{O}_{X_1 \times_k \cdots \times_k X_r, \Delta(Y)}} = \sum_{Y' \in \mathcal{C}(Y_{k'})} [\kappa(Y') : \kappa(Y)] e_{\mathcal{I}'_{\eta'}, \mathcal{O}_{X_{1,k'} \times_{k'} \cdots \times_{k'} X_{r,k'}, \Delta(Y')}}.$$

On en déduit

$$(8) \quad \begin{aligned} & [k' : k] i(Y; X_1 \times_k \cdots \times_k X_r; \mathbb{P}(E)) \\ &= \sum_{Y' \in \mathcal{C}(Y_{k'})} [\kappa(Y') : \kappa(Y)] i(Y'; X_{1,k'} \times_{k'} \cdots \times_{k'} X_{r,k'}; \mathbb{P}(E_{k'})) \end{aligned}$$

par la définition de la multiplicité d'intersection (voir §2.4 pour la définition).

Comme  $X_{i,k'}$  est  $\text{Gal}(k'/k)$ -invariant pour tout  $i = 1, \dots, r$ , et tous les éléments dans  $\mathcal{C}(Y_{k'})$  sont dans la même orbite galoisienne d'après [17, Proposition A.14] car

l'extension  $k'/k$  est galoisienne, la fonction  $i(\cdot; X_{1,k'} \cdot \dots \cdot X_{r,k'}; \mathbb{P}(E_{k'}))$  est constante sur  $\mathcal{C}(Y_{k'})$ . Donc d'après les égalités (7) et (8), on a l'assertion.  $\square$

**Proposition 3.8.** — Soient  $X$  un sous-schéma fermé de  $\mathbb{P}(E)$ , et  $Y$  un sous-schéma fermé intègre de  $X$ . Soit  $k'/k$  une extension galoisienne finie de corps. Pour tout  $Y' \in \mathcal{C}(Y_{k'})$ , on a

$$\mu_Y(X) = \mu_{Y'}(X_{k'}).$$

*Démonstration.* — On utilise la méthode similaire à la démonstration de la proposition 3.7. D'après [13, Proposition 3.2.7], pour toute composante irréductible  $Y' \in \mathcal{C}(Y_{k'})$ , on a  $\dim(Y') = \dim(Y)$ . Toutes les  $Y' \in \mathcal{C}(Y_{k'})$  sont isomorphes comme  $k'$ -schémas d'après [17, Proposition A.14]. De plus, on peut confirmer que  $\mathcal{O}_{X_{k'}, Y'}$  est un  $\mathcal{O}_{X, Y}$ -module plat, car le morphisme canonique

$$(9) \quad \mathcal{O}_{X, Y} \hookrightarrow \mathcal{O}_{X_{k'}, Y'}$$

est une composition d'une extension de corps et une localisation. De plus, comme  $k'/k$  est une extension séparable, le morphisme (9) est étale.

On désigne par  $\kappa(Y)$  le corps résiduel de l'anneau  $\mathcal{O}_{X, Y}$ , et par  $\kappa(Y')$  le corps résiduel de l'anneau  $\mathcal{O}_{X_{k'}, Y'}$ . D'après [16, Proposition 3.2(e)], on a le diagramme cartésien suivant :

$$\begin{array}{ccc} \coprod_{Y' \in \mathcal{C}(Y_{k'})} \mathrm{Spec} \kappa(Y') & \longrightarrow & \mathrm{Spec} \kappa(Y) \\ \downarrow & \square & \downarrow \\ \mathrm{Spec} (\mathcal{O}_{X, Y} \otimes_k k') & \longrightarrow & \mathrm{Spec} \mathcal{O}_{X, Y} \\ \downarrow & \square & \downarrow \\ \mathrm{Spec} k' & \longrightarrow & \mathrm{Spec} k. \end{array}$$

Donc on a l'égalité

$$(10) \quad \sum_{Y' \in \mathcal{C}(Y_{k'})} [\kappa(Y') : \kappa(Y)] = [k' : k],$$

car le changement de base est étale.

Soient  $\mathfrak{m}_{\mathcal{O}_{X, Y}}$  l'idéal maximal de l'anneau  $\mathcal{O}_{X, Y}$ , et  $\mathfrak{m}_{X_{k'}, Y'}$  l'idéal maximal de l'anneau  $\mathcal{O}_{X_{k'}, Y'}$ . Alors on a  $\mathfrak{m}_{X_{k'}, Y'} = \mathcal{O}_{X_{k'}, Y'} \mathfrak{m}_{\mathcal{O}_{X, Y}}$  comme le morphisme (9) est étale. D'après [22, Chap. II, n° 5, f, coro. 2], on a

$$[k' : k] e_{\mathfrak{m}_{X, Y}, \mathcal{O}_{X, Y}} = \sum_{Y' \in \mathcal{C}(Y_{k'})} [\kappa(Y') : \kappa(Y)] e_{\mathfrak{m}_{X_{k'}, Y'}, \mathcal{O}_{X_{k'}, Y'}}.$$

On en déduit

$$(11) \quad [k' : k] \mu_Y(X) = \sum_{Y' \in \mathcal{C}(Y_{k'})} [\kappa(Y') : \kappa(Y)] \mu_{Y'}(X_{k'}).$$

Comme  $X_{k'}$  est  $\mathrm{Gal}(k'/k)$ -invariant pour tout  $i = 1, \dots, r$ , et tous les éléments dans  $\mathcal{C}(Y_{k'})$  sont dans la même orbite galoisienne d'après [17, Proposition A.14] car

l'extension  $k'/k$  est galoisienne, alors la fonction  $\mu_{\cdot}(X_{k'})$  est constante sur  $\mathcal{C}(Y_{k'})$ . Donc d'après les égalités (10) et (11), on a l'assertion.  $\square$

*Comparaison des multiplicités.* — On appelle *sous-schéma fermé  $k$ -linéaire de  $\mathbb{P}(E)$*  (ou *sous-schéma linéaire fermé de  $\mathbb{P}(E)$*  pour simplifier s'il n'a pas d'ambiguïté sur le corps de base) de dimension  $d$  toute intersection complète de  $n - d$   $k$ -hyperplans de  $\mathbb{P}(E)$ . On peut démontrer qu'il est un sous-schéma fermé intègre de  $\mathbb{P}(E)$  de degré 1 par rapport au fibré universel.

**Définition 3.9 (Cylindre).** — Soient  $X$  un sous-schéma fermé de  $\mathbb{P}(E)$  de dimension pure  $d$ , où  $d < n = \text{rg}_k(E) - 1$ , et  $P$  un point dans  $X(k)$ . Soit  $L$  un sous-schéma fermé de  $\mathbb{P}(E)$ . On dit que  $X$  et  $L$  *s'intersectent seulement au voisinage de  $P$*  si  $L$  contient  $P$  et si toute composante irréductible de  $X \cap L$  passant par  $P$  se réduit à  $\{P\}$ . Dans le reste de la définition, on fixe un sous-schéma  $k$ -linéaire fermé  $L$  de  $\mathbb{P}(E)$  tel que  $X$  et  $L$  s'intersectent seulement au voisinage de  $P$ .

Dans la suite, on définit une application rationnelle  $\phi : \mathbb{P}(E) \times_k \mathbb{P}(E) \dashrightarrow \mathbb{P}(E)$ . Le point  $P \in \mathbb{P}(E)(k)$  correspond à un homomorphisme surjectif  $E \rightarrow \mathcal{O}_{\mathbb{P}(E)}(1)|_P$ . Soit  $H_P = \ker(E \rightarrow \mathcal{O}_{\mathbb{P}(E)}(1)|_P)$ . On fixe une application  $k$ -linéaire injective  $\psi : k \rightarrow E$ . On désigne par  $U_\psi = \mathbb{P}(E) \setminus V(\psi)$ , où  $V(\psi)$  est l'hyperplan défini par l'application  $k$ -linéaire  $\psi$ . On suppose que  $V(\psi)$  ne contient ni le point  $P$  ni le point générique de  $X$ .

Si  $R$  est une  $k$ -algèbre, alors  $U_\psi(R)$  est l'ensemble des applications  $R$ -linéaires  $f : E \otimes_k R \rightarrow R$  telles que la composition des morphismes

$$R \xrightarrow{\psi \otimes \text{Id}} E \otimes_k R \xrightarrow{f} R$$

soit l'application d'identité de  $R$ . Cet ensemble est en bijection fonctorielle (en  $R$ ) à l'ensemble des applications  $R$ -linéaires de  $H_P$  vers  $R$ . Ainsi on peut identifier le  $k$ -schéma  $U_\psi$  à l'espace affine  $\mathbb{A}(H_P)$ . La coordonnée affine du point  $P \in U_\psi$  dans  $U_\psi(H_P)$  est  $0 \in H_P^\vee$ .

L'espace affine  $\mathbb{A}(H_P)$  est un schéma en groupes en considérant la loi d'addition canonique  $\phi$

$$\phi : \mathbb{A}(H_P) \times_k \mathbb{A}(H_P) \rightarrow \mathbb{A}(H_P)$$

qui envoie tout point  $(a, b)$  sur  $a + b$ .

L'adhérence Zariski  $Y$  de  $\phi(X \times_k L)$  dans  $\mathbb{P}(E)$ , qui est de dimension  $m + d$  (voir la remarque 3.10 ci-dessous pour une démonstration), est appelée le *cylindre* passant par  $X$  de la direction  $L$  relativement à  $P$ . On remarque que la classe rationnelle de  $\phi$  et donc le cylindre ne dépend pas du choix de  $\psi$ .

**Remarque 3.10.** — On démontre que la dimension du cylindre dans la définition 3.9 est  $m + d$ . Avec toutes les notations dans la définition 3.9, comme  $\dim(X \times_k L) = m + d$ , on a  $\dim(Y) \leq m + d$  (cf. [13, Corollary 3.3.14]).

Pour l'inégalité inverse, on prend un sous-schéma  $k$ -linéaire fermé  $L'$  de  $\mathbb{P}(E)$  de dimension  $n - m$  qui intersecte  $L$  dans  $\mathbb{P}(E)$  en le point  $\{P\}$  seulement. Le morphisme  $\phi|_{(U_\psi \cap L) \times_k (U_\psi \cap L')} : (U_\psi \cap L) \times_k (U_\psi \cap L') \rightarrow U_\psi$  est un isomorphisme de schémas. Alors on peut construire un  $\overline{k}$ -morphisme  $\theta : X_{\overline{k}} \rightarrow L'_{\overline{k}}$ , tel que  $\dim(\theta(X)) = d$  et

l'image inverse de tout  $k$ -point de  $\theta(X)$  par rapport à  $\theta$  est un ensemble fini. Alors on peut prendre un sous-ensemble  $X'$  de  $X_{\overline{k}}$  de dimension  $d$  tel que  $\theta : X' \rightarrow L'_{\overline{k}}$  soit une bijection. Donc le morphisme  $\phi_{\overline{k}}|_{(X' \cap U_{\psi}) \times_k (L \cap U_{\psi})}$  est une immersion, alors on a  $\dim(\phi(X' \times_{\overline{k}} L_{\overline{k}})) = m + d$ . De plus, on a  $\phi(X' \times_{\overline{k}} L_{\overline{k}}) \subseteq Y_{k'}$  par définition.

On a démontré que  $Y_{\overline{k}}$  contient un sous-ensemble de dimension  $m + d$ . Comme  $\dim(Y) = \dim(Y_{\overline{k}})$  d'après [13, Proposition 3.2.7], on obtient l'inégalité  $\dim(Y) \geq m + d$ , ce qui termine la démonstration.

Avec les notations ci-dessus, on a la proposition suivante :

**Proposition 3.11.** — *Soit  $U$  un sous-schéma fermé intègre de  $\mathbb{P}(E)$  tel que  $U^{\text{reg}}(k) \neq \emptyset$ . Soit  $\dim(U) < m < n + \dim(U)$  un entier. On fixe un point  $P \in U^{\text{reg}}(k)$ . Alors il existe un cylindre  $U_1$  de dimension  $n + \dim(U) - m$  dont la direction est définie par un sous-schéma  $k$ -linéaire fermé  $L$  de  $\mathbb{P}(E)$  de dimension  $n - m$  passant par  $P$  tel que, pour tout sous-schéma fermé  $V$  de dimension pure  $m$  de  $\mathbb{P}(E)$  qui contient  $U$ , si  $L$  intersecte  $V$  proprement en le point  $P$ , alors le cylindre  $U_1$  intersecte  $V$  proprement en  $U$ . De plus, on a*

$$\mu_U(V) = i(U; U_1 \cdot V; \mathbb{P}(E))$$

et

$$\mu_Q(V) = \mu_U(V)$$

pour tout  $Q \in U^{\text{reg}}(k)$ . Voir §2.3 pour la notation de  $\mu_U(V)$ .

On revoie les lecteurs au deuxième paragraphe de [23, Chap. II §6, n° 2, b)] pour une démonstration de la proposition 3.11. L'auteur de [23] a implicitement utilisé la condition  $U^{\text{reg}}(k) \neq \emptyset$  dans la démonstration sans la préciser dans l'énoncé.

**Remarque 3.12.** — Soient  $X_1, \dots, X_r$  des sous-schéma fermés de la même dimension pure de  $\mathbb{P}(E)$ , et  $U$  un sous-schéma fermé intègre de  $X_1, \dots, X_r$ . Par la méthode dans [6] et [7], on peut construire un schéma  $U_1$  d'intersection complète qui intersecte tous les  $X_1, \dots, X_r$  proprement en la composante irréductible  $U$ , tel que l'égalité

$$\mu_U(X_i) = i(U; U_1 \cdot X_i; \mathbb{P}(E))$$

soit vérifiée pour tout  $i = 1, \dots, r$  d'après le lemme d'évitement (en anglais c'est "avoidance lemma"). Comparé avec la proposition 3.11, on n'a pas besoin de supposer que  $U^{\text{reg}}(k) \neq \emptyset$  et qu'il existe le sous-schéma  $k$ -linéaire  $L$  satisfaisant la condition dans la proposition 3.11. Si on admet l'assertion, on peut montrer le théorème 3.1 sans la condition que  $k$  est un corps parfait.

**Définition 3.13.** — Soit  $X$  un schéma. On dit qu'une propriété dépendant d'un point de  $X$  est *vraie pour presque tout point de  $X$*  s'il existe un sous-ensemble dense  $U$  de  $X$ , tel que cette propriété soit vraie pour tout point dans  $U$ .

Si le schéma  $X$  est irréductible,  $X^{\text{reg}}$  est dense dans  $X$  si  $X^{\text{reg}} \neq \emptyset$ . On a le corollaire de la proposition 3.11 suivante.

**Corollaire 3.14.** — Soit  $X$  un sous-schéma fermé de  $\mathbb{P}(E)$ . Soient  $Y$  et  $Z$  deux sous-schémas fermés intègres de  $X$ , où  $Z \subseteq Y$  et  $Z^{\text{reg}}(k) \neq \emptyset$ . Alors on a  $\mu_Y(X) \leq \mu_Z(X)$ . De plus, pour presque tout point  $P$  de  $Y$ , on a  $\mu_P(X) = \mu_Y(X)$ .

On revoie les lecteurs à [23, Chap. II §6, n° 2, c)] pour une démonstration du corollaire 3.14.

On comparera la multiplicité d'intersection d'une famille de schémas et un produit de multiplicités de cette composante irréductible dans cette famille de schémas. Dans [23, Chap. II §6, n° 2, e)], l'auteur de [23] a démontré la proposition 3.17. Mais dans la démonstration, l'auteur de [23] a implicitement utilisé la condition que cette composante irréductible est géométriquement intègre sans la préciser dans l'énoncé. Ici on n'a pas besoin de supposer cette condition, et on peut démontrer le cas où le corps de base est parfait.

Pour cela, on introduira un lemme auxiliaire suivant.

**Lemme 3.15.** — Soit  $X$  un sous-schéma fermé intègre de  $\mathbb{P}(E)$ . Si l'ensemble  $X^{\text{reg}}(k) \neq \emptyset$ , alors  $X$  est géométriquement intègre.

*Démonstration.* — Il faut montrer que  $X$  est géométriquement réduit et géométriquement irréductible.

D'abord, on va démontrer que  $X$  est géométriquement irréductible. Soit  $\xi \in X^{\text{reg}}(k)$ . Pour toute extension de corps  $k'/k$ , soit  $\xi' = \xi \times_{\text{Spec } k} \text{Spec } k'$ . Alors d'après le critère jacobien (cf. [13, Theorem 4.2.19]), on a

$$\mu_{\xi'}(X_{k'}) = \mu_{\xi}(X) = 1,$$

comme le rang de la matrice jacobien en un point rationnel est invariant sous l'extension de corps. De plus, si l'extension  $k'/k$  est galoisienne, le point  $\xi'$  est  $\text{Gal}(k'/k)$ -invariant. Donc pour toute composante irréductible  $X' \in \mathcal{C}(X_{k'})$ , on a  $\xi' \in X'$ .

D'après la proposition 3.5, pour toute extension galoisienne  $k'/k$ , on a l'égalité

$$\sum_{X' \in \mathcal{C}(X_{k'})} \ell_{\mathcal{O}_{X_{k'}, X'}}(\mathcal{O}_{X_{k'}, X'}) \mu_{\xi'}(X') = \mu_{\xi'}(X_{k'}) = 1.$$

Donc on obtient  $\#\mathcal{C}(X_{k'}) = 1$  et  $\ell_{\mathcal{O}_{X_{k'}, X'}}(\mathcal{O}_{X_{k'}, X'}) = 1$  pour le  $X' \in \mathcal{C}(X_{k'})$ . L'assertion  $\#\mathcal{C}(X_{k'}) = 1$  signifie que  $X_{k'}$  est irréductible. Donc  $X$  est géométriquement irréductible.

Dans la suite, on va démontrer que  $X$  est géométriquement réduit. Si l'extension  $k'/k$  est séparable, alors d'après [13, Corollary 3.2.14], le schéma  $X$  est géométriquement réduit.

Si  $k'/k$  n'est pas séparable, alors le corps  $k$  n'est pas parfait. On suppose que la caractéristique de  $k$  est  $p$ . Dans ce cas-là, on peut diviser l'extension à une composition d'une extension séparable et une extension purement inséparable. Pour la partie purement inséparable, on peut la diviser à une composition des extensions purement inséparables de degré  $p$ . Alors on a besoin de montrer que si  $k'/k$  est une extension purement inséparable avec  $[k' : k] = p$ , le schéma  $X_{k'}$  est réduit. Comme la question est locale, alors on peut supposer que  $X$  est affine. Soit  $X = \text{Spec } A$ , où  $A$  est un anneau contenant  $k$ .

Comme  $X$  admet un point  $k$ -rationnel régulier, alors on prend  $\xi \in X^{\text{reg}}(k)$ , et on désigne par  $\mathfrak{m}_\xi$  l'idéal maximal de l'anneau  $\mathcal{O}_{X,\xi}$ . Alors on a  $\widehat{A}_{\mathfrak{m}_\xi} = \widehat{\mathcal{O}}_{X,\xi} \cong k[[T_1, \dots, T_d]]$  (cf. [14, (28.J)]), où  $d = \dim(X)$ . Soit  $\xi' = \xi \times_{\text{Spec } k} \text{Spec } k'$ , alors on a  $\widehat{\mathcal{O}}_{X_{k'}, \xi'} \cong k'[[T_1, \dots, T_d]]$  car  $\xi'$  est régulier dans  $X_{k'}$ . Donc on a le diagramme commutatif suivant :

$$\begin{array}{ccc} A & \xrightarrow{\quad} & k[[T_1, \dots, T_d]] \\ \downarrow & & \downarrow \\ A \otimes_k k' & \xrightarrow{\quad} & k'[[T_1, \dots, T_d]]. \end{array}$$

L'anneau  $k'[[T_1, \dots, T_d]]$  est intègre, alors l'anneau  $A \otimes_k k'$  est intègre aussi, qui doit être réduit. Donc on obtient que  $X$  est géométriquement réduit. D'où on a le résultat.  $\square$

**Remarque 3.16.** — La démonstration du lemme 3.15 est similaire à celle de [20, Lemma 10.1], mais la condition dans le lemme 3.15 est plus faible.

**Proposition 3.17.** — *On suppose que  $k$  est un corps parfait. Soient  $X_1, \dots, X_r$  des sous-schémas fermés de dimension pure de  $\mathbb{P}(E)$  et  $M \in \mathcal{C}(X_1 \times \dots \times X_r)$ . Alors on a*

$$i(M; X_1 \times \dots \times X_r; \mathbb{P}(E)) \geq \prod_{i=1}^r \mu_M(X_i).$$

*Démonstration.* — D'abord, on suppose  $M^{\text{reg}}(k) \neq \emptyset$ . Dans ce cas-là, d'après le lemme 3.15, le schéma  $M$  est géométriquement intègre. D'où l'on obtient que le schéma  $M^{\times_{k^r}}$  est géométriquement intègre aussi par [8, (4.6.5) (ii)].

La multiplicité d'intersection  $i(M; X_1 \times \dots \times X_r; \mathbb{P}(E))$  est la multiplicité d'un idéal de l'anneau local  $\mathcal{O}_{X_1 \times_k \dots \times_k X_r, \Delta(M)}$  qui est contenu dans l'idéal maximal de  $\mathcal{O}_{X_1 \times_k \dots \times_k X_r, \Delta(M)}$ . D'après l'inégalité (3), on obtient

$$i(M; X_1 \times \dots \times X_r; \mathbb{P}(E)) \geq \mu_{\Delta(M)}(X_1 \times_k \dots \times_k X_r).$$

De plus, le schéma  $\Delta(M)$  est géométriquement intègre et il admet un point régulier  $k$ -rationnel. D'après le fait que  $\Delta(M) \subseteq M^{\times_{k^r}}$ , on obtient

$$\mu_{\Delta(M)}(X_1 \times_k \dots \times_k X_r) \geq \mu_{M^{\times_{k^r}}}(X_1 \times_k \dots \times_k X_r)$$

compte tenu du corollaire 3.14.

Soient  $U_1$  et  $U_2$  deux sous-schémas fermés géométriquement intègres de  $Y_1$  et  $Y_2$  respectivement, où  $Y_1$  et  $Y_2$  sont deux sous-schémas fermés de  $\mathbb{P}(E)$ . D'après [8, (4.6.5) (ii)], le schéma  $U_1 \times_k U_2$  est géométriquement intègre. Dans ce cas-là, le schéma  $U_1 \times_k U_2$  est un sous-schéma fermé intègre de  $Y_1 \times_k Y_2$ , d'où  $\mathcal{O}_{Y_1 \times_k Y_2, U_1 \times_k U_2} \cong \mathcal{O}_{Y_1, U_1} \otimes_k \mathcal{O}_{Y_2, U_2}$ . D'après [22, Chap. VI, n° 1, d, prop. 1], on en déduit

$$\mu_{U_1 \times_k U_2}(Y_1 \times_k Y_2) = \mu_{U_1}(Y_1) \mu_{U_2}(Y_2).$$

Alors on a

$$\begin{aligned}
 \mu_{M \times_k r}(X_1 \times_k \cdots \times_k X_r) &= \mu_M(X_1) \cdot \mu_{M \times_k (r-1)}(X_2 \times_k \cdots \times_k X_r) \\
 &= \cdots \\
 &= \prod_{i=1}^r \mu_M(X_i),
 \end{aligned}$$

qui démontre l'assertion.

Dans la suite, on va démontrer le cas où  $k$  est un corps parfait et  $M \in \mathcal{C}(X_1, \dots, X_r)$ . Soit  $k'/k$  une extension galoisienne finie de corps telle que pour toute composante irréductible  $M' \in \mathcal{C}(M_{k'})$ ,  $M'$  contienne au moins un  $k'$ -point régulier. D'après le lemme 3.15, toute  $M' \in \mathcal{C}(M_{k'})$  est géométriquement intègre. D'après l'argument ci-dessus, si on fixe une  $M' \in \mathcal{C}(M_{k'}) \subseteq \mathcal{C}(X_{1,k'}, \dots, X_{r,k'})$  (par le lemme 3.6), on a

$$i(M'; X_{1,k'}, \dots, X_{r,k'}; \mathbb{P}(E_{k'})) \geq \prod_{i=1}^r \mu_{M'}(X_{i,k'}).$$

D'après la proposition 3.7, on a

$$i(M; X_1, \dots, X_r; \mathbb{P}(E)) = i(M'; X_{1,k'}, \dots, X_{r,k'}; \mathbb{P}(E_{k'})).$$

Par la proposition 3.8, on a

$$\mu_M(X_i) = \mu_{M'}(X_{i,k'}).$$

Alors on a l'assertion. □

*Comptage des objets sur un corps fini.* — Soient  $k$  un corps et  $V$  un espace  $k$ -vectoriel de rang fini. On désigne par  $\text{Gr}(r, V^\vee)$  la grassmannienne qui classifie les sous-espaces vectoriels de dimension  $r$  de  $V$ . Soit  $k'/k$  une extension de corps, on désigne par  $\text{Gr}(r, V^\vee)(k')$  l'ensemble des  $k$ -points à valeurs dans le corps  $k'$  de  $\text{Gr}(r, V^\vee)$ . On désigne par  $\text{Gr}_k(r, n)$  la grassmannienne  $\text{Gr}(r, (k^n)^\vee)$ , ou par  $\text{Gr}(r, n)$  s'il n'y a pas d'ambiguïté sur le corps de base  $k$ . En particulier, on a  $\text{Gr}_k(n-1, n) \cong \mathbb{P}_k^{n-1}$ .

**Lemme 3.18.** — Avec les notations ci-dessus, soit  $\mathbb{F}_q$  le corps fini de cardinal  $q$ . Alors on a

$$\#\text{Gr}_{\mathbb{F}_q}(r, n)(\mathbb{F}_q) = \frac{\prod_{t=1}^n (q^{t-1} + q^{t-2} + \cdots + 1)}{\prod_{t=1}^r (q^{t-1} + q^{t-2} + \cdots + 1) \cdot \prod_{t=1}^{n-r} (q^{t-1} + q^{t-2} + \cdots + 1)}.$$

En particulier, on a

$$\mathbb{P}_{\mathbb{F}_q}^n(\mathbb{F}_q) = q^n + \cdots + 1.$$

On revoie les lecteurs à [25, Proposition 1.7.2] pour une démonstration du lemme 3.18.

Soient  $k'/k$  une extension de corps,  $E$  un espace  $k$ -vectoriel de rang fini, et  $\phi : X \hookrightarrow \mathbb{P}(E_{k'})$  une immersion fermée. On a le diagramme commutatif suivant :

$$\begin{array}{ccccc} X & \xhookrightarrow{\phi} & \mathbb{P}(E_{k'}) & \xrightarrow{\pi} & \mathbb{P}(E) \\ \downarrow & & \square & & \downarrow \\ \mathrm{Spec} \, k' & \longrightarrow & \mathrm{Spec} \, k. & & \end{array}$$

**Définition 3.19.** — On désigne par  $X_\phi(k)$  le sous-ensemble de  $X(k')$  des  $\xi \in X(k')$  (considérés comme des  $k'$ -morphismes de  $\mathrm{Spec} \, k'$  dans  $X$ ) dont la composition avec le morphisme canonique  $X \rightarrow \mathbb{P}(E)$  donne un  $k$ -point de  $\mathbb{P}(E)$  à valeurs dans  $k'$  qui provient d'un point  $k$ -rationnel de  $\mathbb{P}(E)$ . Autrement dit, on définit  $X_\phi(k) = X(k') \cap \pi^{-1}(\mathbb{P}(E)(k))$ . S'il n'y a pas d'ambiguïté sur l'immersion  $\phi$ , on désigne par  $X(k)$  l'ensemble  $X_\phi(k)$  pour simplifier.

Lorsque  $k$  est un corps fini, on a un résultat comme ci-dessous pour estimer le cardinal de l'ensemble  $X_\phi(k)$  lorsque  $X$  est de dimension pure.

**Proposition 3.20.** — Soient  $k/\mathbb{F}_q$  une extension de corps,  $E$  un espace  $k$ -vectoriel de rang fini, et  $\phi : X \hookrightarrow \mathbb{P}(E)$  une immersion fermée. On suppose que  $X$  est de dimension pure  $d$ . Alors

$$\#X_\phi(\mathbb{F}_q) \leq \deg(X) \# \mathbb{P}_{\mathbb{F}_q}^d(\mathbb{F}_q).$$

On revoit les lecteurs à l'argument dans la page 236 de [15]. La proposition 3.20 est une conséquence directe de cet argument.

Soient  $k$  un corps, et  $X_1, \dots, X_r$  des  $k$ -schémas tels que  $\bigcap_{i=1}^r X_i(k) \neq \emptyset$ . Si  $P \in \bigcap_{i=1}^r X_i(k)$ , et toute composante irréductible de l'intersection de  $X_1 \cap \dots \cap X_r$  passant par  $P$  se réduit à  $\{P\}$ , on dit que  $X_1, \dots, X_r$  s'intersectent seulement au voisinage de  $P$ .

La proposition suivante est utilisée pour déterminer s'il existe un sous-schéma  $k$ -linéaire fermé de  $\mathbb{P}(E)$  qui intersecte une suite des schémas de dimension pure fixés en un point  $k$ -rationnel seulement au voisinage de ce point.

**Proposition 3.21.** — Soient  $U_1, \dots, U_r$  des sous-schémas fermés de dimension pure de  $\mathbb{P}(E)$ . On suppose que  $\bigcap_{i=1}^r U_i(k) \neq \emptyset$  et  $\dim(U_i) = d < n = \mathrm{rg}_k(E) - 1$  pour tout  $i = 1, \dots, r$ . Soit  $P \in \bigcap_{i=1}^r U_i(k)$ . Si l'inégalité

$$\#k \geq \deg(U_1) + \dots + \deg(U_r)$$

est vérifiée, alors il existe au moins un sous-schéma fermé  $k$ -linéaire de  $\mathbb{P}(E)$  de dimension plus petite ou égale à  $n - d$  qui intersecte tout  $U_i$  seulement au voisinage de  $P$ .

*Démonstration.* — S'il existe un sous-schéma  $k$ -linéaire fermé  $L$  de  $\mathbb{P}(E)$  de dimension  $n - d$  qui intersecte tous les  $U_1, \dots, U_r$  proprement en le point  $P$ , alors pour tout sous-schéma  $k$ -linéaire fermé de  $\mathbb{P}(E)$  passant par  $P$  contenu dans  $L$ , il intersecte  $U_1, \dots, U_r$  seulement au voisinage de  $P$ . Donc on a besoin de prouver qu'il existe un sous-schéma

$k$ -linéaire fermé  $L'$  de  $\mathbb{P}(E)$  de dimension  $n-d$  tel que  $\{P\}$  soit une composante propre de l'intersection  $L' \cdot U_1 \cdot \dots \cdot U_r$  dans  $\mathbb{P}(E)$ .

On désigne par  $\mathcal{H}_P$  l'ensemble des  $k$ -hyperplans projectifs passant par le point  $P$ , alors on a  $\mathcal{H}_P = \text{Gr}(n-1, E^\vee)(k)$ . D'abord, on démontre que l'on peut trouver une  $H_1 \in \mathcal{H}_P$  qui intersecte tous les  $U_i$  proprement. Pour un  $U_i$  fixé, ses composantes irréductibles sont contenues dans au plus  $\deg(U_i)$  sous-schémas  $k$ -linéaires fermés de  $\mathbb{P}(E)$  de dimension  $d$ . De plus, pour un sous-schéma  $k$ -linéaire fermé de  $\mathbb{P}(E)$  de dimension  $d$  fixé, il existe  $\#\text{Gr}(n-d-1, n-d)(k)$  hyperplans qui contiennent ce sous-schéma  $k$ -linéaire fermé de  $\mathbb{P}(E)$ . Si  $k$  est un corps fini,  $\#\text{Gr}(m, n)(k)$  étant calculé dans le lemme 3.18, alors on peut confirmer que l'on a l'inégalité

$$\begin{aligned} \#\mathcal{H}_P &= \#\text{Gr}(n-1, n)(k) \\ &> (\deg(U_1) + \dots + \deg(U_r)) \#\text{Gr}(n-d-1, n-d)(k), \end{aligned}$$

lorsque  $\#k \geq r \geq 1$  et  $\#k \geq 2$ . Donc il existe toujours un tel hyperplan  $H_1$ .

Si  $k$  est infini, il toujours existe un hyperplan  $H_1 \in \mathcal{H}_P$  qui satisfait que les schémas  $U_1, \dots, U_r, H_1$  s'intersectent proprement en une composante irréductible contenant le point  $P$ .

Si on a déjà trouvé des hyperplans  $H_1, \dots, H_{t-1} \in \mathcal{H}_P$ , tels que les schémas  $U_i, H_1, \dots, H_{t-1}$  s'intersectent proprement pour tout  $i = 1, \dots, r$ , où  $1 \leq t \leq d$ . D'après le théorème de Bézout (le théorème 3.4), on obtient qu'il y a au plus  $\deg(U_i)$  éléments dans  $\mathcal{C}(H_1 \cdot H_2 \cdot \dots \cdot H_{t-1} \cdot U_i)$ , où tout élément est de dimension  $d-t+1$ . De plus, tout élément dans  $\mathcal{C}(H_1 \cdot H_2 \cdot \dots \cdot H_{t-1} \cdot U_i)$  est contenu dans au plus un sous-schéma  $k$ -linéaire fermé de  $\mathbb{P}(E)$  de dimension  $d-t+1$ , où  $i = 1, \dots, r$ . Si  $k$  est un corps fini, d'après la proposition 3.18, on peut confirmer que l'on a

$$\begin{aligned} &\#\text{Gr}(n-t, n-t+1)(k) \\ &> (\deg(U_1) + \dots + \deg(U_r)) \#\text{Gr}(n-d-1, n-d)(k), \end{aligned}$$

lorsque  $\#k \geq r \geq 1$ ,  $\#k \geq 2$  et  $t \leq d$ . Donc on peut trouver un sous-schéma  $k$ -linéaire fermé de  $\mathbb{P}(E)$  de dimension  $n-t$  passant par  $P$  contenu dans  $H_1 \cap \dots \cap H_{t-1}$ , qui intersecte tous les éléments dans  $\mathcal{C}(H_1 \cdot H_2 \cdot \dots \cdot H_{t-1} \cdot U_i)$  proprement pour tout  $i = 1, \dots, r$ .

Tout sous-schéma  $k$ -linéaire fermé de  $\mathbb{P}(E)$  passant par  $P$  contenu dans  $H_1 \cap \dots \cap H_{t-1}$  peut être relevé à un hyperplan dans  $\mathcal{H}_P$ . On se relève ce sous-schéma  $k$ -linéaire fermé de  $\mathbb{P}(E)$  à  $H_t \in \mathcal{H}_P$  telle que  $H_1 \cap \dots \cap H_{t-1} \cap H_t$  soit une intersection complète.

Si  $k$  est infini, il toujours existe un hyperplan  $H_t \in \mathcal{H}_P$  qui satisfait que les schémas projectifs  $U_1, \dots, U_r, H_1, \dots, H_{t-1}, H_t$  s'intersectent proprement en une composante irréductible contenant le point  $P$ .

Donc on peut trouver une suite des éléments  $H_1, H_2, \dots, H_d \in \mathcal{H}_P$ , tels que les schémas  $H_1, H_2, \dots, H_d, U_i$  s'intersectent proprement en le point  $P$  pour tout  $i = 1, \dots, r$ . Le sous-schéma  $k$ -linéaire fermé de  $\mathbb{P}(E)$  défini par l'intersection complète de  $H_1, H_2, \dots, H_d$  intersecte tous les  $U_i$  proprement en le point  $P$ , où  $i = 1, \dots, r$ .  $\square$

#### 4. Démonstration du théorème 3.1

Ce paragraphe est consacré à la démonstration du théorème 3.1. Soient  $k$  un corps parfait, et  $X_1, \dots, X_r$  des sous-schémas fermés de dimension pure de  $\mathbb{P}(E)$  qui s'intersectent proprement. Pour tout  $Y \in \mathcal{C}(X_1 \cdot \dots \cdot X_r)$ , on construit un arbre d'intersection  $\mathcal{T}_Y$  de niveau  $\delta = \max_{i \in \{1, \dots, r\}} \{\deg(X_i)\}$  dont la racine est  $Y$ . La stratégie consiste en un raisonnement par récurrence sur la profondeur maximale des arbres d'intersection  $\mathcal{T}_Y$  (voir §2.1 pour la définition). Soit  $M$  un sommet de l'un des arbres d'intersection  $\mathcal{T}_Y$ . On suppose que  $M$  satisfait les conditions suivantes : pour tout sommet  $Z$  des arbres d'intersection  $\{\mathcal{T}_Y\}_{Y \in \mathcal{C}(X_1 \cdot \dots \cdot X_r)}$ , si  $M$  est un sous-schéma propre de  $Z$ , alors il existe un descendant de  $Z$  qui est une occurrence de  $M$ . Le but de ce paragraphe est de démontrer l'inégalité (5) ci-dessous :

$$\sum_{Y \in \mathcal{C}(X_1 \cdot \dots \cdot X_r)} W_{\mathcal{T}_Y}(M) i(Y; X_1 \cdot \dots \cdot X_r; \mathbb{P}(E)) \geq \mu_M(X_1) \cdots \mu_M(X_r).$$

**Définition 4.1.** — Soit  $s$  un entier positif. On définit  $\mathcal{C}_s$  comme l'ensemble des sommets de profondeur  $s$  dans les arbres d'intersection  $\mathcal{T}_Y$ , où  $Y \in \mathcal{C}(X_1 \cdot \dots \cdot X_r)$ . De plus, on définit  $\mathcal{C}_* = \bigcup_{s \geq 0} \mathcal{C}_s$ .

Pour tout entier positif  $s$ , on définit un sous-ensemble de  $\mathcal{C}_s$  comme la suite.

**Définition 4.2.** — Soit  $s$  un entier positif. On définit  $\mathcal{Z}_s$  comme le sous-ensemble de  $\mathcal{C}_s$  des éléments  $N$  qui satisfont la condition suivante : pour tout sommet  $Z$  des arbres d'intersection  $\{\mathcal{T}_Y\}_{Y \in \mathcal{C}(X_1 \cdot \dots \cdot X_r)}$ , si  $N$  est un sous-schéma propre de  $Z$ , alors il existe un descendant de  $Z$  qui est une occurrence de  $N$ . De plus, on définit  $\mathcal{Z}_* = \bigcup_{s \geq 0} \mathcal{Z}_s$ .

Par définition, on a  $\mathcal{Z}_0 = \mathcal{C}_0 = \mathcal{C}(X_1 \cdot \dots \cdot X_r)$ . On démontrera le théorème 3.1 pour les sommets dans l'ensemble  $\mathcal{Z}_*$ .

L'idée principale de la démonstration du théorème 3.1 est comme ci-dessous : si  $M \in \mathcal{Z}_0$ , le côté gauche de l'inégalité (5) est une multiplicité d'intersection en  $M$ , alors le théorème 3.1 découle de la proposition 3.17. Si  $M \in \mathcal{Z}_* \setminus \mathcal{Z}_0$ , comme  $k$  est un corps parfait, la multiplicité d'intersection et la multiplicité de point dans un schéma vérifient des propriétés d'invariance sous une extension galoisienne finie de corps comme dans les propositions 3.7 et 3.8. D'abord on fixe une extension galoisienne finie de corps  $k'/k$  tel que  $M^{\text{reg}}(k') \neq \emptyset$  et que le cardinal de  $k'$  soit assez grand. Alors on peut construire un  $k'$ -schéma auxiliaire tel que l'intersection de  $X_{1,k'}, \dots, X_{r,k'}$  et ce schéma soit propre en une composante irréductible de  $M_{k'}$  (le schéma auxiliaire est en fait un cylindre passant par cette composante irréductible, dont l'existence est assurée lorsque  $k'$  est assez grand, voir la définition 3.11 pour la définition de cylindre). Dans la suite, on démontre le côté gauche de l'inégalité (5) est plus grand ou égal à la multiplicité d'intersection de  $X_{1,k'}, \dots, X_{r,k'}$  et le  $k'$ -schéma auxiliaire en cette composante irréductible de  $M_{k'}$ . Par la comparaison entre la multiplicité de ce produit d'intersection à cette composante irréductible de  $M_{k'}$  et les multiplicités de  $M$  dans  $X_1, \dots, X_r$  et le schéma auxiliaire (la proposition 3.17), on obtient le résultat.

**Démonstration du théorème 3.1.** — Dans la démonstration, la composante irréductible  $M \in \mathcal{Z}_*$  est comme dans l'énoncé du théorème 3.1.

**Étape 1 : la profondeur du sommet est zéro.** - Si  $M \in \mathcal{Z}_0 = \mathcal{C}(X_1 \cdot \dots \cdot X_r)$ , alors pour tout  $Y \in \mathcal{C}(X_1 \cdot \dots \cdot X_r)$ , on a  $W_{\mathcal{F}_Y}(M) = 0$  ou 1. Donc l'assertion du théorème 3.1 est une conséquence directe de la proposition 3.17, ce qui montre que la multiplicité d'intersection du produit d'intersection de  $X_1 \cdot \dots \cdot X_r$  en une composante irréductible est plus grande ou égale au produit des multiplicités de cette composante dans  $X_1, \dots, X_r$ .

**Étape 2 : la profondeur du sommet est strictement plus grande que zéro.**

- Si  $M \in \mathcal{Z}_* \setminus \mathcal{Z}_0$  On démontrera l'énoncé suivant.

**Proposition 4.3.** — Soit  $n = \text{rg}_k(E) - 1$ . Soit  $k'/k$  une extension galoisienne finie de corps, telle que

$$\#k' \geq \delta \sum_{i=1}^r \dim(X_i) - (r-1)(n-1)$$

et que  $M^{\text{reg}}(k') \neq \emptyset$ . Alors pour toute composante irréductible  $M' \in \mathcal{C}(M_{k'})$ , il existe un cylindre  $M_{k'}^0$  dans  $\mathbb{P}(E_{k'})$ , tel que  $M' \in \mathcal{C}(X_{1,k'} \cdot \dots \cdot X_{r,k'} \cdot M_{k'}^0)$  et que les schémas  $X_{1,k'}, \dots, X_{r,k'}, M_{k'}^0$  s'intersectent proprement en la composante  $M'$ , et

$$\begin{aligned} & \sum_{Y \in \mathcal{C}(X_1 \cdot \dots \cdot X_r)} i(Y; X_1 \cdot \dots \cdot X_r; \mathbb{P}(E)) W_{\mathcal{F}_Y}(M) \\ & \geq i(M'; X_{1,k'} \cdot \dots \cdot X_{r,k'} \cdot M_{k'}^0; \mathbb{P}(E_{k'})). \end{aligned}$$

Si on admet la proposition 4.3, d'après la proposition 3.17, on obtient

$$\begin{aligned} i(M'; X_{1,k'} \cdot \dots \cdot X_{r,k'} \cdot M_{k'}^0; \mathbb{P}(E_{k'})) & \geq \mu_{M'}(X_{1,k'}) \cdots \mu_{M'}(X_{r,k'}) \mu_{M'}(M_{k'}^0) \\ & \geq \mu_{M'}(X_{1,k'}) \cdots \mu_{M'}(X_{r,k'}) \\ & = \mu_M(X_1) \cdots \mu_M(X_r), \end{aligned}$$

où l'égalité provient de la proposition 3.8. D'où on démontre l'assertion du théorème 3.1.

Pour démontrer la proposition 4.3, on raisonne par récurrence sur la profondeur maximale  $s$  des  $\mathcal{F}_Y$ , où  $Y \in \mathcal{C}(X_1 \cdot \dots \cdot X_r)$ .

**Étape 2-1 : le cas où  $s = 1$ .** - D'abord, on va démontrer le cas de  $s = 1$ . On suppose que  $\mathcal{Z}_* \setminus \mathcal{Z}_0 \neq \emptyset$ . Dans ce cas-là, on va démontrer le lemme suivant.

**Lemme 4.4.** — Soient  $M \in \mathcal{Z}$ , et  $k'/k$  une extension galoisienne finie de corps telle que  $\#k' \geq \deg(X_1) \cdots \deg(X_r)$  et  $M^{\text{reg}}(k') \neq \emptyset$ . Pour tout  $M' \in \mathcal{C}(M_{k'})$ , il existe un cylindre  $M_{k'}^0$  dans  $\mathbb{P}(E_{k'})$ , tel que  $M' \in \mathcal{C}(X_{1,k'} \cdot \dots \cdot X_{r,k'} \cdot M_{k'}^0)$  et que les schémas  $X_{1,k'}, \dots, X_{r,k'}, M_{k'}^0$  s'intersectent proprement en la composante irréductible  $M'$ . De plus, l'inégalité

$$\begin{aligned} & \sum_{Y \in \mathcal{C}(X_1 \cdot \dots \cdot X_r)} i(Y; X_1 \cdot \dots \cdot X_r; \mathbb{P}(E)) W_{\mathcal{F}_Y}(M) \\ & \geq i(M'; X_{1,k'} \cdot \dots \cdot X_{r,k'} \cdot M_{k'}^0; \mathbb{P}(E_{k'})) \end{aligned}$$

est vérifiée.

*Démonstration.* — Pour tout  $Y \in \mathcal{C}(X_1 \cdot \dots \cdot X_r)$ , on désigne par  $\tilde{Y}$  l'étiquette de  $Y$  dans l'arbre d'intersection considéré comme un schéma. Par la définition dans §2.1, on a

$$(12) \quad W_{\mathcal{I}_Y}(M) = i(M; Y \cdot \tilde{Y}; \mathbb{P}(E)).$$

En effet, comme  $s = 1$ , si  $M$  apparaît dans les descendants de  $Y$ , il n'apparaît qu'une seule fois. De plus, on a

$$(13) \quad i(M; Y \cdot \tilde{Y}; \mathbb{P}(E)) \geq \mu_M(Y) \mu_M(\tilde{Y}) \geq \mu_M(Y)$$

d'après la proposition 3.17. Par la proposition 3.8, on a

$$(14) \quad \mu_M(Y) = \mu_{M'}(Y_{k'}).$$

Comme  $k$  est un corps parfait, le schéma  $Y_{k'}$  est réduit d'après [13, Proposition 3.2.7]. Donc  $\mathcal{O}_{Y_{k'}, Y'}$  est un anneau local artinien réduit, qui est un corps (cf. [1, Proposition 8.9], l'idéal maximal de  $\mathcal{O}_{Y_{k'}, Y'}$  est nul). On en déduit  $\ell_{\mathcal{O}_{Y_{k'}, Y'}}(\mathcal{O}_{Y_{k'}, Y'}) = 1$ . D'après la proposition 3.5, on a

$$(15) \quad \mu_{M'}(Y_{k'}) = \sum_{Y' \in \mathcal{C}(Y_{k'})} \mu_{M'}(Y').$$

On obtient donc

$$\begin{aligned} & \sum_{Y \in \mathcal{C}(X_1 \cdot \dots \cdot X_r)} i(Y; X_1 \cdot \dots \cdot X_r; \mathbb{P}(E)) W_{\mathcal{I}_Y}(M) \\ & \geq \sum_{Y \in \mathcal{C}(X_1 \cdot \dots \cdot X_r)} i(Y; X_1 \cdot \dots \cdot X_r; \mathbb{P}(E)) \sum_{Y' \in \mathcal{C}(Y_{k'})} \mu_{M'}(Y') \end{aligned}$$

d'après les inégalités (12), (13), (14), et (15).

En outre, on a

$$\begin{aligned} (16) \quad & \sum_{Y' \in \mathcal{C}(X_{1,k'} \cdot \dots \cdot X_{r,k'})} \deg(Y') \\ & \leq \sum_{Y' \in \mathcal{C}(X_{1,k'} \cdot \dots \cdot X_{r,k'})} i(Y'; X_{1,k'} \cdot \dots \cdot X_{r,k'}; \mathbb{P}(E_{k'})) \deg(Y') \\ & = \sum_{Y \in \mathcal{C}(X_1 \cdot \dots \cdot X_r)} \sum_{Y' \in \mathcal{C}(Y_{k'})} i(Y'; X_{1,k'} \cdot \dots \cdot X_{r,k'}; \mathbb{P}(E_{k'})) \deg(Y') \\ & = \deg(X_{1,k'}) \cdots \deg(X_{r,k'}) \\ & = \deg(X_1) \cdots \deg(X_r), \end{aligned}$$

où la première égalité provient de la proposition 3.7, la deuxième égalité provient du théorème de Bézout (le théorème 3.4), et la dernière égalité provient du fait que le degré d'un sous-schéma fermé de  $\mathbb{P}(E)$  est invariant sous extension de corps. Donc on a

$$\#k' \geq \sum_{Y' \in \mathcal{C}(X_{1,k'} \cdot \dots \cdot X_{r,k'})} \deg(Y')$$

d'après l'inégalité (16).

On dégénère par  $\mathcal{D}(M)$  le sous-ensemble de  $Y \in \mathcal{C}(X_1 \cdot \dots \cdot X_r)$  tel que  $M$  apparaît à une descendante de  $Y$  dans l'arbre d'intersection  $\mathcal{T}_Y$ .

La composante  $M$  admet un  $k'$ -point régulier. Comme  $k$  est parfait, d'après la proposition 3.5, la composante  $M'$  admet un  $k'$ -point rationnel  $P$  de multiplicité 1, qui est régulier car  $M_{k'}$  est de dimension pure. D'après la proposition 3.21, on obtient qu'il existe un sous-schéma  $k'$ -linéaire fermé de  $\mathbb{P}(E_{k'})$  de dimension  $n - \dim(Y) = n - \dim(Y_{k'})$  qui intersecte tous les  $Y' \in \bigcup_{Y \in \mathcal{D}(M)} \mathcal{C}(Y_{k'})$  proprement en le point  $P$

ou en les composantes qui ne contiennent pas  $P$ . Dans ce cas-là, ce sous-schéma  $k'$ -linéaire fermé de  $\mathbb{P}(E_{k'})$  intersecte  $M'$  en ce point  $k'$ -régulier de  $M'$  seulement au voisinage de ce point. D'après la proposition 3.11, on peut trouver un cylindre  $M_{k'}^0$  de dimension  $n - \dim(Y) + \dim(M) = n - \dim(Y) + \dim(M')$  dont la direction est définie par ce sous-schéma  $k'$ -linéaire fermé de  $\mathbb{P}(E_{k'})$ , tel qu'il intersecte tous les  $Y' \in \bigcup_{Y \in \mathcal{D}(M)} \mathcal{C}(Y_{k'})$  proprement en la composante  $M'$  ou en les composantes irréductibles qui ne contiennent pas  $M'$ . De plus, on a

$$\mu_{M'}(Y') = i(M'; Y' \cdot M_{k'}^0; \mathbb{P}(E_{k'}))$$

pour toute composante irréductible  $Y' \in \mathcal{C}(Y_{k'})$ ,  $Y \in \mathcal{C}(X_1 \cdot \dots \cdot X_r)$ .

D'après le lemme 3.6 et la proposition 3.7, on a

$$(17) \quad i(Y; X_1 \cdot \dots \cdot X_r; \mathbb{P}(E)) = i(Y'; X_{1,k'} \cdot \dots \cdot X_{r,k'}; \mathbb{P}(E_{k'})),$$

où  $Y' \in \mathcal{C}(Y_{k'})$ . Donc on obtient

$$\begin{aligned} & \sum_{Y \in \mathcal{C}(X_1 \cdot \dots \cdot X_r)} i(Y; X_1 \cdot \dots \cdot X_r; \mathbb{P}(E)) \sum_{Y' \in \mathcal{C}(Y_{k'})} \mu_{M'}(Y') \\ &= \sum_{Y \in \mathcal{C}(X_1 \cdot \dots \cdot X_r)} \sum_{Y' \in \mathcal{C}(Y_{k'})} i(Y'; X_{1,k'} \cdot \dots \cdot X_{r,k'}; \mathbb{P}(E_{k'})) i(M'; Y' \cdot M_{k'}^0; \mathbb{P}(E_{k'})) \end{aligned}$$

d'après l'égalité (17). Par la définition de  $\mathcal{Z}_*$  (la définition 4.2), les composantes irréductibles dans  $\mathcal{C}(X_1 \cdot \dots \cdot X_r) \setminus \mathcal{D}(M)$  ne contiennent pas  $M$ . Donc le cylindre  $M_{k'}^0$  n'intersecte pas les composantes irréductibles de l'intersection  $X_{1,k'} \cdot \dots \cdot X_{r,k'}$  dans  $\mathcal{C}(X_{1,k'} \cdot \dots \cdot X_{r,k'}) \setminus \{N \in \mathcal{C}(Y_{k'}) \mid Y \in \mathcal{D}(M)\}$  en la composante  $M'$ . Alors d'après l'associativité d'intersection propre (l'énoncé (ii) de la proposition 3.3), on a

$$\begin{aligned} & \sum_{Y \in \mathcal{C}(X_1 \cdot \dots \cdot X_r)} \sum_{Y' \in \mathcal{C}(Y_{k'})} i(Y'; X_{1,k'} \cdot \dots \cdot X_{r,k'}; \mathbb{P}(E_{k'})) i(M'; Y' \cdot M_{k'}^0; \mathbb{P}(E_{k'})) \\ &= i(M'; X_{1,k'} \cdot \dots \cdot X_{r,k'} \cdot M_{k'}^0; \mathbb{P}(E_{k'})). \end{aligned}$$

C'est la fin de la preuve du lemme 4.4, qui démontre la proposition 4.3 pour le cas de  $s = 1$ .  $\square$

**Étape 2-2 : du cas où la profondeur maximale est  $s - 1$  au cas où la profondeur maximale est  $s$ .** - Afin de démontrer la proposition 4.3, on raisonne par récurrence sur la profondeur maximale des arbres d'intersection  $\mathcal{T}_Y$ , où  $Y \in \mathcal{C}(X_1 \cdot \dots \cdot X_r)$ . On rappelle que l'on prend une extension galoisienne finie de

corps  $k'/k$  telle que

$$\#k' \geq \delta^{\sum_{i=1}^r \dim(X_i) - (r-1)(n-1)}$$

et que  $M^{\text{reg}}(k') \neq \emptyset$ , où  $n = \text{rg}_k(E) - 1$ .

*Démonstration de la proposition 4.3.* — Dans cette démonstration, on maintient toutes les notations dans la démonstration du lemme 4.4. On raisonne par récurrence sur la profondeur maximale  $s$  des arbres d'intersection  $\mathcal{T}_Y$ , où  $Y \in \mathcal{C}(X_1 \cdot \dots \cdot X_r)$ . Le cas de  $s = 1$  est démontré dans le lemme 4.4.

Dans un arbre d'intersection, un fils d'un sommet est de codimension plus grande ou égale à 1 dans ce sommet, donc on obtient que la valeur maximal de  $s$  est  $\dim(Y)$ .

Pour tout  $Y \in \mathcal{C}(X_1 \cdot \dots \cdot X_r)$ , on a  $\dim(Y) = \sum_{i=1}^r \dim(X_i) - (r-1)n$ .

Maintenant on suppose que l'assertion est démontrée pour le cas où la profondeur maximale des  $\mathcal{T}_Y$  est  $s - 1$  pour tous les  $Y \in \mathcal{C}(X_1 \cdot \dots \cdot X_r)$ . Dans la suite, on démontre le cas où la profondeur maximale des  $\{\mathcal{T}_Y\}_{Y \in \mathcal{C}(X_1 \cdot \dots \cdot X_r)}$  est  $s$ . Pour tout  $N \in \mathcal{C}_*$ , on désigne par  $\tilde{N}$  l'étiquette de  $N$  dans l'arbre d'intersection  $\mathcal{T}_Y$ .

Pour tous  $N \in \mathcal{C}_*$ , par la condition  $\#k' \geq \delta^{\sum_{i=1}^r \dim(X_i) - (r-1)(n-1)}$ , on obtient l'inégalité

$$\#k' \geq \deg(N) \deg(\tilde{N})$$

d'après le théorème de Bézout (le théorème 3.4). Donc par le lemme 4.4, on peut utiliser l'hypothèse de récurrence aux sous-arbres d'intersection des  $\{\mathcal{T}_Y\}_{Y \in \mathcal{C}(X_1 \cdot \dots \cdot X_r)}$ , dont les racines sont les sommets dans  $\mathcal{C}_1$ . D'après l'hypothèse de récurrence et la définition 4.2, pour tout  $Y \in \mathcal{D}(M)$ , on peut trouver un cylindre  $Z_Y$  dans  $\mathbb{P}(E_{k'})$  de dimension  $n - \dim(Y) + \dim(M)$ , tel que  $Y_{k'}, \tilde{Y}_{k'}$  et  $Z_Y$  s'intersectent proprement en  $M'$ , et

$$(18) \quad W_{\mathcal{T}_Y}(M) = \sum_{Y' \in \mathcal{C}(Y \cdot \tilde{Y})} i(Y'; Y \cdot \tilde{Y}; \mathbb{P}(E)) W_{\mathcal{T}_{Y'}}(M) \geq i(M'; Y_{k'} \cdot \tilde{Y}_{k'} \cdot Z_Y; \mathbb{P}(E_{k'})),$$

où  $\mathcal{T}_{Y'}$  est le sous-arbre d'intersection dont la racine est  $Y' \in \mathcal{C}(Y \cdot \tilde{Y})$ .

Dans la suite, on estimera la multiplicité d'intersection  $i(M'; Y_{k'} \cdot \tilde{Y}_{k'} \cdot Z_Y; \mathbb{P}(E_{k'}))$ . Comme  $k$  est un corps parfait, le schéma  $Y_{k'}$  est réduit. D'où l'on a

$$(19) \quad \begin{aligned} W_{\mathcal{T}_Y}(M) &\geq i(M'; Y_{k'} \cdot \tilde{Y}_{k'} \cdot Z_Y; \mathbb{P}(E_{k'})) \\ &\geq \mu_{M'}(Y_{k'}) \mu_{M'}(\tilde{Y}_{k'}) \mu_{M'}(Z_Y) \quad (\text{la proposition 3.17}) \\ &\geq \mu_{M'}(Y_{k'}) \\ &= \sum_{Y' \in \mathcal{C}(Y_{k'})} \mu_{M'}(Y') \quad (\text{la proposition 3.5}) \end{aligned}$$

d'après l'inégalité (18), car l'anneau  $\mathcal{O}_{Y_{k'}, Y'}$  est un anneau local artinien réduit, qui est un corps (cf. [1, Proposition 8.9], l'idéal maximal de  $\mathcal{O}_{Y_{k'}, Y'}$  est nul). Donc on

obtient

$$\begin{aligned}
& \sum_{Y \in \mathcal{C}(X_1 \cdot \dots \cdot X_r)} i(Y; X_1 \cdot \dots \cdot X_r; \mathbb{P}(E)) W_{\mathcal{D}_Y}(M) \\
& \geq \sum_{Y \in \mathcal{C}(X_1 \cdot \dots \cdot X_r)} i(Y; X_1 \cdot \dots \cdot X_r; \mathbb{P}(E)) \sum_{Y' \in \mathcal{C}(Y_{k'})} \mu_{M'}(Y') \\
& = \sum_{Y \in \mathcal{C}(X_1 \cdot \dots \cdot X_r)} \sum_{Y' \in \mathcal{C}(Y_{k'})} i(Y'; X_{1,k'} \cdot \dots \cdot X_{r,k'}; \mathbb{P}(E_{k'})) \mu_{M'}(Y') \\
& = \sum_{Y' \in \mathcal{C}(X_{1,k'} \cdot \dots \cdot X_{r,k'})} i(Y'; X_{1,k'} \cdot \dots \cdot X_{r,k'}; \mathbb{P}(E_{k'})) \mu_{M'}(Y')
\end{aligned}$$

d'après l'inégalité (19), le lemme 3.6 et la proposition 3.7.

En outre, d'après l'inégalité (16), on a

$$\sum_{Y' \in \mathcal{C}(X_{1,k'} \cdot \dots \cdot X_{r,k'})} \deg(Y') \leq \#k'.$$

La composante  $M$  admet un  $k'$ -point régulier. Comme  $k$  est parfait, d'après la proposition 3.5, la composante  $M'$  admet un  $k'$ -point rationnel  $P$  de multiplicité 1, qui est régulier car  $M_{k'}$  est de dimension pure. D'après la proposition 3.21, on obtient qu'il existe un sous-schéma  $k'$ -linéaire fermé de  $\mathbb{P}(E_{k'})$  de dimension  $n - \dim(Y) = n - \dim(Y_{k'})$  qui intersecte tout  $Y' \in \bigcup_{Y \in \mathcal{D}(M)} \mathcal{C}(Y_{k'})$  proprement en le point  $P$  ou en les

composante qui ne contiennent pas  $P$ . Dans ce cas-là, ce sous-schéma  $k'$ -linéaire fermé de  $\mathbb{P}(E_{k'})$  intersecte  $M'$  seulement au voisinage de  $P$ . D'après la proposition 3.11, on peut trouver un cylindre  $M_{k'}^0$  de dimension  $n - \dim(Y) + \dim(M) = n - \dim(Y') + \dim(M')$  dont la direction est définie par ce sous-schéma  $k'$ -linéaire fermé de  $\mathbb{P}(E_{k'})$ , tel qu'il intersecte tous les  $Y' \in \bigcup_{Y \in \mathcal{D}(M)} \mathcal{C}(Y_{k'})$  proprement en la composante  $M'$  ou en les composantes qui ne contiennent pas  $M'$ . De plus, on a

$$\mu_{M'}(Y') = i(M'; Y' \cdot M_{k'}^0; \mathbb{P}(E_{k'}))$$

pour toute composante irréductible  $Y' \in \mathcal{C}(Y_{k'})$ . Donc on obtient

$$\begin{aligned}
& \sum_{Y' \in \mathcal{C}(X_{1,k'} \cdot \dots \cdot X_{r,k'})} i(Y'; X_{1,k'} \cdot \dots \cdot X_{r,k'}; \mathbb{P}(E_{k'})) \mu_{M'}(Y') \\
& = \sum_{Y' \in \mathcal{C}(X_{1,k'} \cdot \dots \cdot X_{r,k'})} i(Y'; X_{1,k'} \cdot \dots \cdot X_{r,k'}; \mathbb{P}(E_{k'})) i(M'; Y' \cdot M_{k'}^0; \mathbb{P}(E_{k'}))
\end{aligned}$$

d'après l'égalité (17). Par la définition de  $\mathcal{Z}_*$  (la définition 4.2), les composantes irréductibles dans  $\mathcal{C}(X_1 \cdot \dots \cdot X_r) \setminus \mathcal{D}(M)$  ne contiennent pas  $M$ . Donc le cylindre  $M_{k'}^0$  n'intersecte pas les composantes irréductibles de l'intersection  $X_{1,k'} \cdot \dots \cdot X_{r,k'}$  dans  $\mathcal{C}(X_{1,k'} \cdot \dots \cdot X_{r,k'}) \setminus \{N \in \mathcal{C}(Y_{k'}) \mid Y \in \mathcal{D}(M)\}$  en la composante  $M'$ . Alors d'après

l'associativité d'intersection propre (l'énoncé (ii) de la proposition 3.3), on a

$$\begin{aligned} & \sum_{Y' \in \mathcal{C}(X_{1,k'} \cdot \dots \cdot X_{r,k'})} i(Y'; X_{1,k'} \cdot \dots \cdot X_{r,k'}; \mathbb{P}(E_{k'})) i(M'; Y' \cdot M_{k'}^0; \mathbb{P}(E_{k'})) \\ &= i(M'; X_{1,k'} \cdot \dots \cdot X_{r,k'} \cdot M_{k'}^0; \mathbb{P}(E_{k'})). \end{aligned}$$

Alors on démontre que la proposition 4.3 est vraie pour le cas où la profondeur maximale est  $s$ . C'est la fin de la démonstration de la proposition 4.3.  $\square$

**Une conséquence du théorème 3.1.** — On a démontré le théorème 3.1. Dans la suite, on va déduire une conséquence du théorème 3.1, qui donne une majoration globale des multiplicités des sommets dans  $\mathcal{Z}_*$ . Cette majoration sera utilisée dans la démonstration du théorème principal (le théorème 5.1).

**Définition 4.5.** — Soit  $s$  un entier positif. On désigne par  $\mathcal{C}'_s$  (resp.  $\mathcal{Z}'_s$ ,  $\mathcal{C}'_*$ , et  $\mathcal{Z}'_*$ ) l'ensemble des étiquettes de  $\mathcal{C}_s$  (resp.  $\mathcal{Z}_s$ ,  $\mathcal{C}_*$ , et  $\mathcal{Z}_*$ ), voir les définitions 4.1 et 4.2 pour les définition de  $\mathcal{C}_s$ ,  $\mathcal{Z}_s$ ,  $\mathcal{C}_*$ , et  $\mathcal{Z}_*$ .

Avec toutes les notations ci-dessus, si tous les étiquettes non-vides dans  $\mathcal{T}_Y$  ont la même dimension, pour les sommets dans  $\mathcal{Z}_*$ , on a le corollaire suivant qui est une description globale de ses multiplicités dans  $X_1, \dots, X_r$ .

**Proposition 4.6.** — *Avec les notations et conditions dans le théorème 3.1, on suppose que tous les éléments non-vides dans  $\mathcal{C}'_*$  ont la même dimension. Alors on a*

$$\sum_{Z \in \mathcal{Z}_s} \left( \prod_{i=1}^r \mu_Z(X_i) \right) \deg(Z) \leq \prod_{i=1}^r \deg(X_i) \prod_{j=0}^{s-1} \max_{\tilde{Y} \in \mathcal{C}'_j} \{\deg(\tilde{Y})\}.$$

En particulier, si  $s = 0$ , on définit  $\prod_{j=0}^{s-1} \max_{Y' \in \mathcal{C}'_j} \{\deg(Y')\} = 1$ .

*Démonstration.* — Comme les  $Y \in \mathcal{C}(X_1 \cdot \dots \cdot X_r)$  sont de la même dimension et ses étiquettes sont de la même dimension, les sommets de profondeur 1 dans les  $\mathcal{T}_Y$  sont de la même dimension puisque  $Y$  intersecte son étiquette proprement pour tout  $Y \in \mathcal{C}(X_1 \cdot \dots \cdot X_r)$ . Par le même argument ci-dessus, pour un entier positif  $s$  fixé, les sommets dans  $\mathcal{C}_s$  sont de la même dimension.

Afin de démontrer cette proposition, d'abord on raisonne par récurrence sur la profondeur  $s$  pour montrer l'inégalité

$$\begin{aligned} & \sum_{Z \in \mathcal{C}_s} \left( \sum_{Y \in \mathcal{C}(X_1 \cdot \dots \cdot X_r)} i(Y; X_1 \cdot \dots \cdot X_r; \mathbb{P}(E)) W_{\mathcal{T}_Y}(Z) \right) \deg(Z) \\ & \leq \prod_{i=1}^r \deg(X_i) \prod_{j=0}^{s-1} \max_{\tilde{Y} \in \mathcal{C}'_j} \{\deg(\tilde{Y})\}. \end{aligned}$$

D'après le théorème de Bézout (le théorème 3.4), on a

$$\sum_{Y \in \mathcal{C}(X_1 \cdot \dots \cdot X_r)} i(Y; X_1 \cdot \dots \cdot X_r; \mathbb{P}(E)) \deg(Y) = \deg(X_1) \deg(X_2) \cdots \deg(X_r),$$

ce qui montre le cas de  $s = 0$ .

On suppose que le cas de profondeur  $s - 1$  est démontré. Pour le cas de profondeur  $s$ , on a

$$\begin{aligned} & \prod_{i=1}^r \deg(X_i) \prod_{j=0}^{s-1} \max_{\tilde{Y} \in \mathcal{C}'_j} \{\deg(\tilde{Y})\} \\ & \geq \max_{\tilde{Y} \in \mathcal{C}'_{s-1}} \{\deg(\tilde{Y})\} \sum_{Z \in \mathcal{C}_{s-1}} \left( \sum_{Y \in \mathcal{C}(X_1, \dots, X_r)} i(Y; X_1, \dots, X_r; \mathbb{P}(E)) W_{\mathcal{F}_Y}(Z) \right) \deg(Z) \end{aligned}$$

d'après le théorème de Bézout (le théorème 3.4). Pour tout sommet  $Z$ , on désigne par  $\tilde{Z}$  l'étiquette de  $Z$ . Donc on obtient

$$\begin{aligned} & \max_{\tilde{Y} \in \mathcal{C}'_{s-1}} \{\deg(\tilde{Y})\} \sum_{Z \in \mathcal{C}_{s-1}} \left( \sum_{Y \in \mathcal{C}(X_1, \dots, X_r)} i(Y; X_1, \dots, X_r; \mathbb{P}(E)) W_{\mathcal{F}_Y}(Z) \right) \deg(Z) \\ & \geq \sum_{Z \in \mathcal{C}_{s-1}} \left( \sum_{Y \in \mathcal{C}(X_1, \dots, X_r)} i(Y; X_1, \dots, X_r; \mathbb{P}(E)) W_{\mathcal{F}_Y}(Z) \right) \deg(Z) \deg(\tilde{Z}) \\ & = \sum_{Z \in \mathcal{C}_{s-1}} \left( \sum_{Y \in \mathcal{C}(X_1, \dots, X_r)} i(Y; X_1, \dots, X_r; \mathbb{P}(E)) W_{\mathcal{F}_Y}(Z) \right) \cdot \\ & \quad \sum_{Z' \in \mathcal{C}(Z \cdot \tilde{Z})} i(Z'; Z \cdot \tilde{Z}; \mathbb{P}(E)) \deg(Z') \\ & = \sum_{Z' \in \mathcal{C}_s} \left( \sum_{Y \in \mathcal{C}(X_1, \dots, X_r)} i(Y; X_1, \dots, X_r; \mathbb{P}(E)) W_{\mathcal{F}_Y}(Z') \right) \deg(Z'), \end{aligned}$$

ce qui montre le cas de profondeur  $s$ .

Dans la suite, il faut démontrer l'inégalité

$$\begin{aligned} & \sum_{Z \in \mathcal{Z}_s} \left( \prod_{i=1}^r \mu_Z(X_i) \right) \deg(Z) \\ & \leq \sum_{Z \in \mathcal{C}_s} \left( \sum_{Y \in \mathcal{C}(X_1, \dots, X_r)} i(Y; X_1, \dots, X_r; \mathbb{P}(E)) W_{\mathcal{F}_Y}(Z) \right) \deg(Z). \end{aligned}$$

Pour un  $Z \in \mathcal{Z}_s$  fixé, d'après le théorème 3.1, on obtient

$$\sum_{Y \in \mathcal{C}(X_1, \dots, X_r)} i(Y; X_1, \dots, X_r; \mathbb{P}(E)) W_{\mathcal{F}_Y}(Z) \geq \mu_Z(X_1) \cdots \mu_Z(X_r).$$

Par la définition 4.2, l'ensemble  $\mathcal{Z}_s$  est un sous-ensemble de  $\mathcal{C}_s$  pour tout  $s \geq 0$ . Donc on obtient le résultat.  $\square$

## 5. Estimation de multiplicités dans une hypersurface

Le résultat suivant est une majoration d'un comptage de multiplicités dans une hypersurface projective réduite sur le corps fini  $\mathbb{F}_q$ . Cette majoration peut être considérée comme une description de la complexité du lieu singulier de cette hypersurface projective réduite.

**Théorème 5.1.** — *Soient  $X \hookrightarrow \mathbb{P}_{\mathbb{F}_q}^n$  une hypersurface projective réduite de degré  $\delta$ , où  $\dim(X^{\text{sing}}) = s$ . Alors on a :*

$$\begin{aligned} \sum_{\xi \in X(\mathbb{F}_q)} \mu_\xi(X) (\mu_\xi(X) - 1)^{n-s-1} &\leq \delta(\delta-1)^{n-s-1} (q^s + q^{s-1} + \dots + 1) + \\ &\quad \delta(\delta-1)^{n-s} (q^{s-1} + q^{s-2} + \dots + 1) + \dots \\ &\quad + \delta(\delta-1)^{n-1}, \end{aligned}$$

où  $\mu_\xi(X)$  est la multiplicité de  $\xi$  dans  $X$  (voir §2.4 pour la définition).

Avant de la démonstration du théorème 5.1, on a besoin d'introduire certaines propriétés spéciales autour de la multiplicité dans une section par hypersurface, et introduire une méthode de construire les arbres d'intersection utiles pour ce problème de comptage de multiplicités.

**5.1. Multiplicité dans une section par hypersurface.** — Soient  $k$  un corps, et  $f \in k[T_0, \dots, T_n]$  un polynôme homogène non-nul de degré  $\delta$ . On dit que le schéma

$$X = \text{Proj}(k[T_0, \dots, T_n]/(f))$$

est une *hypersurface projective* (ou *hypersurface* pour simplifier) de  $\mathbb{P}_k^n$  définie par le polynôme  $f$ . On peut démontrer que  $X$  est un sous-schéma fermé de degré  $\delta$  de  $\mathbb{P}_k^n$  (cf. [10, Proposition 7.6, Chap. I]).

On va introduire certaines propriétés spéciales autour de la multiplicité d'un point dans une hypersurface projective.

**Proposition 5.2** ([11], **Example 2.70 (2)**). — *Soient  $X$  une hypersurface de  $\mathbb{P}_k^n$  définie par un polynôme homogène  $f$  non-nul,  $\xi \in X(\bar{k})$ , et  $\mathfrak{m}_\xi$  l'idéal maximal d'anneau local  $\mathcal{O}_{\mathbb{P}_k^n, \xi}$ . Soit  $H_\xi(s)$  la fonction de Hilbert-Samuel locale de  $X$  en le point  $\xi$  (voir §2.3 pour la définition). Si l'image de  $f$  dans  $\mathcal{O}_{\mathbb{P}_k^n, \xi}$  apparaît à l'ensemble  $\mathfrak{m}_\xi^r \setminus \mathfrak{m}_\xi^{r+1}$ . Alors on a*

$$H_\xi(s) = \binom{n+s-1}{s} - \binom{n+s-r-1}{s-r}.$$

En particulier, on a  $\mu_\xi(X) = r$ .

Soit  $I = (i_0, \dots, i_n) \in \mathbb{N}^{n+1}$  un indice, on définit  $|I| = i_0 + \dots + i_n$ . Soit  $g(T_0, \dots, T_n)$  un polynôme homogène non-nul de degré  $\delta$ , alors on peut développer le

polynôme  $g(T_0 + S_0, T_1 + S_1, \dots, T_n + S_n) \in k[T_0, T_1, \dots, T_n, S_0, S_1, \dots, S_n]$  comme

$$\begin{aligned} & g(T_0 + S_0, \dots, T_n + S_n) \\ &= g(T_0, \dots, T_n) + \sum_{\alpha=1}^{\delta} \sum_{\substack{I=(i_0, \dots, i_n) \in \mathbb{N}^{n+1} \\ |I|=\alpha}} g^I(T_0, \dots, T_n) S_0^{i_0} \cdots S_n^{i_n}, \end{aligned}$$

où  $g^I(T_0, \dots, T_n)$  est un polynôme homogène de degré  $\delta - |I|$  ou nul. On désigne par  $\mathcal{D}^\alpha(g)$  l'ensemble des polynômes  $g^I(T_0, \dots, T_n)$  définis ci-dessus, où  $|I| = \alpha \geq 1$ .

Pour un entier  $1 \leq \alpha \leq \delta$ , on définit  $\mathcal{T}^\alpha(g)$  comme l'espace  $k$ -vectoriel engendré par les éléments dans  $\mathcal{D}^\alpha(g)$ . Pour tout  $g \in \mathcal{T}^\alpha(g)$  non-nul,  $g$  définit une hypersurface projective de degré  $\delta - \alpha$  de  $\mathbb{P}_k^n$ .

De plus, on définit  $\mathcal{D}^0(g) = \{g\}$  et  $\mathcal{T}^0(g) = k \cdot g$ .

**Remarque 5.3.** — Les éléments dans  $\mathcal{D}^1(g)$  sont les

$$\frac{\partial g}{\partial T_0}, \frac{\partial g}{\partial T_1}, \dots, \frac{\partial g}{\partial T_n},$$

qui sont des polynômes homogènes de degré  $\delta - 1$  ou nuls. Si  $\text{car}(k) = 0$  ou  $\text{car}(k) > \delta$ , les éléments dans  $\mathcal{D}^\alpha(g)$  ont la forme de

$$\frac{1}{i_0! \cdots i_n!} \cdot \frac{\partial^{i_0 + \cdots + i_n} g(T_0, \dots, T_n)}{\partial T_0^{i_0} \cdots \partial T_n^{i_n}},$$

où  $(i_0, \dots, i_n) \in \mathbb{N}^{n+1}$  est une indice avec  $i_0 + \cdots + i_n = \alpha$ . De plus, l'espace  $k$ -vectoriel  $\mathcal{T}^\alpha(g)$  est l'espace des dérivées directionnelles de l'ordre  $\alpha$  de  $g(T_0, \dots, T_n)$ .

Avec toutes les notations ci-dessus, on a une conséquence directe de la proposition 5.2 suivant :

**Corollaire 5.4.** — Soient  $X \hookrightarrow \mathbb{P}_k^n$  l'hypersurface projective définie par un polynôme homogène  $f \neq 0$  de degré  $\delta$ ,  $\xi \in X(k)$ , et  $\alpha$  un entier tel que  $0 \leq \alpha \leq \mu_\xi(X) - 1$ . Alors pour tout  $g \in \mathcal{T}^\alpha(f)$  non-nul, le point  $\xi$  est contenu dans l'hypersurface définie par  $g$ . Il existe un  $g' \in \mathcal{T}^{\mu_\xi(X)}(f)$  non-nul, tel que  $\xi$  n'est pas contenu dans l'hypersurface définie par  $g'$ .

**Démonstration.** — Soit  $\xi = [a_0 : \cdots : a_n]$ . D'après la proposition 5.2, l'image de  $f$  dans l'anneau local  $\mathcal{O}_{\mathbb{P}_k^n, \xi}$  est dans l'ensemble  $\mathfrak{m}_\xi^{\mu_\xi(X)} \setminus \mathfrak{m}_\xi^{\mu_\xi(X)+1}$ , qui signifie que cette image est dans  $\mathfrak{m}_\xi^{\mu_\xi(X)}$  mais n'est pas dans  $\mathfrak{m}_\xi^{\mu_\xi(X)+1}$ . L'image étant dans  $\mathfrak{m}_\xi^{\mu_\xi(X)}$  signifie que pour tout polynôme  $f^I(T_0, \dots, T_n)$  défini ci-dessus avec  $0 \leq |I| \leq \mu_\xi(X) - 1$ , on a  $f^I(a_0, \dots, a_n) = 0$ . L'image n'étant pas dans  $\mathfrak{m}_\xi^{\mu_\xi(X)+1}$  signifie qu'il existe un polynôme  $f^I(T_0, \dots, T_n)$  avec  $|I| = \mu_\xi(X)$  tel que  $f^I(a_0, \dots, a_n) \neq 0$ . Alors on a l'assertion.  $\square$

Une conséquence directe du corollaire 5.4 est ci-dessous.

**Corollaire 5.5.** — Soient  $X \hookrightarrow \mathbb{P}_k^n$  l'hypersurface projective définie par un polynôme homogène  $f$  de degré  $\delta$ , et  $\eta \in X$  un point schématique. Pour un entier  $0 \leq \alpha \leq \delta$ , soit  $X'$  l'hypersurface de  $\mathbb{P}_k^n$  définie par un élément non-nul  $g \in \mathcal{T}^\alpha(f)$ , où  $\alpha < \mu_\eta(X)$ . Alors la multiplicité  $\mu_\eta(X')$  est au moins  $\mu_\eta(X) - \alpha$ . De plus, il existe au moins un élément dans  $\mathcal{T}^\alpha(f)$  qui définit une hypersurface  $X''$  de  $\mathbb{P}_k^n$ , telle que la multiplicité  $\mu_\eta(X'')$  soit égale à  $\mu_\xi(X) - \alpha$ .

*Démonstration.* — Soient  $Z = \{\eta\}$ , et  $\xi \in Z^{\text{reg}}(\bar{k})$ . D'après le corollaire 3.14, on a  $\mu_\xi(X) = \mu_\eta(X)$ . Comme  $Z^{\text{reg}}(\bar{k})$  est dense dans  $Z$  (cf. [10, Corollary 8.16, Chap. II]), on a l'assertion.  $\square$

**Remarque 5.6.** — D'après le corollaire 5.4, si  $X \hookrightarrow \mathbb{P}_k^n$  est une hypersurface définie par un polynôme homogène non-nul de degré  $\delta$ , la multiplicité du point fermé dans  $X$  est au plus  $\delta$ .

**Définition 5.7.** — On dit que l'hypersurface projective définie par  $g \in \mathcal{T}^\alpha(f)$  est une *hypersurface dérivée* d'ordre  $\alpha$  de l'hypersurface définie par  $f$ .

**5.2. Construction des arbres d'intersection à partir d'une hypersurface.** — Afin de rechercher le problème du comptage des multiplicités dans une hypersurface, il faut construire quelques arbres d'intersection à partir de cette hypersurface. On peut étudier la multiplicité d'un point rationnel par la majoration des poids des sommets dans les arbres d'intersection construits. Dans cette partie, soient  $k$  un corps,  $X$  un  $k$ -schéma, et  $k'/k$  une extension de corps, on désigne par  $X_{k'}$  le  $k'$ -schéma  $X \times_{\text{Spec } k} \text{Spec } k'$  pour simplifier.

D'abord, on introduit le lemme suivant, qui sera utilisé dans la construction des racines de ces arbres d'intersection.

**Lemme 5.8.** — Soient  $k$  un corps, et  $g \in k[T_0, \dots, T_n]$  un polynôme homogène non-nul. On désigne par  $V(g)$  l'hypersurface projective de  $\mathbb{P}_k^n$  définie par  $g$ . Soit  $f \neq 0$  un polynôme homogène de degré  $\delta$ . Si la dimension du lieu singulier de  $V(f)$  est  $s$ , où  $0 \leq s \leq n-2$ . Alors il existe une extension finie  $k'/k$  et une famille de  $g_1, \dots, g_{n-s-1} \in \mathcal{T}^1(f) \otimes_k k'$ , telle que

$$\dim(V(f)_{k'} \cap V(g_1) \cap \dots \cap V(g_{n-s-1})) = s.$$

Autrement dit, le schéma  $V(f)_{k'} \cap V(g_1) \cap \dots \cap V(g_{n-s-1})$  est une intersection complète.

*Démonstration.* — Comme  $V(f)$  prend des points singuliers, le degré de  $f$  est plus grand ou égal à 2. D'abord, on suppose que  $k'$  est une clôture algébrique du corps  $k$ , alors le cardinal de  $k'$  est infini. Si on démontre l'assertion pour tel corps  $k'$ , il existe une extension finie du corps  $k$  qui satisfait le besoin aussi. Dans le reste de la démonstration, tous les schémas que l'on considère soient définis sur cette clôture algébrique du corps  $k$ .

D'après le critère jacobien (cf. [13, Theorem 4.2.19]), on a

$$\dim \left( V(f) \cap \bigcap_{g \in \mathcal{T}^1(f)} V(g) \right) = \dim \left( V(f)_{k'} \cap \bigcap_{g \in \mathcal{T}^1(f) \otimes_k k'} V(g) \right) = s.$$

On désigne par  $V_t$  le schéma

$$V(f)_{k'} \cap V(g_1) \cap \cdots \cap V(g_t)$$

pour simplifier. Pour tout  $t \in \{0, 1, \dots, n-s-1\}$ , on démontrera qu'il existe  $g_1, \dots, g_t \in \mathcal{T}^1(f) \otimes_k k'$  (si  $t=0$ , on définit que l'ensemble des  $\{g_1, \dots, g_t\}$  est vide), tels que  $V_t$  soit une intersection complète. Si on a l'assertion ci-dessus, on montre le résultat original.

On raisonne par récurrence sur l'entier  $t$  défini ci-dessus, où  $0 \leq t \leq n-s-1$ . Comme  $V_0 = V(f)_{k'}$  est une hypersurface qui est une intersection complète, le cas de  $t=0$  est démontré par définition directement.

Si on a déjà trouvé les  $g_1, \dots, g_t \in \mathcal{T}^1(f) \otimes_k k'$ , tels que  $V_t$  soit une intersection complète, où  $0 \leq t \leq n-s-2$ . Alors pour tout  $U \in \mathcal{C}(V_t)$ , on a  $\dim(U) = n-t-1$ .

Si pour tout  $h \in \mathcal{T}^1(f) \otimes_k k'$ , il toujours existe une  $U \in \mathcal{C}(V_t)$ , telle que  $U \subseteq V(h)$ . Alors on obtient

$$U \subsetneq V(f)_{k'} \cap \left( \bigcap_{g \in \mathcal{T}^1(f) \otimes_k k'} V(g) \right),$$

qui contredit avec ce que  $\dim(V(f)_{k'}^{\text{sing}}) = s < n-t-1 = \dim(U)$ .

Alors pour tout  $U \in \mathcal{C}(V_t)$ , on peut trouver un  $g_U \in \mathcal{T}^1(f) \otimes_k k'$ , tel que

$$U \not\subseteq V(g_U).$$

On définit

$$L(U) = \{h \in \mathcal{T}^1(f) \otimes_k k' \mid U \subseteq V(h)\}.$$

Alors dans ce cas-là, pour tout  $U \in \mathcal{C}(V_t)$ ,  $L(U)$  est un sous-espace  $k'$ -vectoriel propre de  $\mathcal{T}^1(f) \otimes_k k'$ . Comme le cardinal de  $k'$  est infini et le cardinal de  $\mathcal{C}(V_t)$  est fini, il existe un vecteur  $h \in \mathcal{T}^1(f) \otimes_k k'$ , tel que

$$h \notin \bigcup_{U \in \mathcal{C}(V_t)} L(U).$$

Alors pour tout  $U \in \mathcal{C}(V_t)$ , on a  $U \not\subseteq V(h)$ . Donc  $V(h) \cap V_t$  est une intersection complète.

Donc pour tout  $0 \leq t \leq n-s-1$ , on peut trouver des  $g_1, \dots, g_t$ , qui satisfont le besoin. C'est la fin de la démonstration.  $\square$

Soit  $X \hookrightarrow \mathbb{P}_{\mathbb{F}_q}^n$  l'hypersurface projective définie par le polynôme homogène  $f$  non-nul de degré  $\delta$ , dont la dimension du lieu singulier est plus grande ou égale à zéro. Soit  $\mathbb{F}_{q^m}/\mathbb{F}_q$  une extension finie telle que l'on peut trouver une suite de  $g_1, \dots, g_{n-s-1} \in \mathcal{T}^1(f) \otimes_{\mathbb{F}_q} \mathbb{F}_{q^m}$  non-nuls qui satisfont que  $X_{\mathbb{F}_{q^m}}, V(g_1), \dots, V(g_{n-s-1})$  soit une intersection complète. L'extension  $\mathbb{F}_{q^m}/\mathbb{F}_q$  est galoisienne, car  $\text{Gal}(\mathbb{F}_{q^m}/\mathbb{F}_q) = (\mathbb{Z}/m\mathbb{Z}, +)$ . D'après le lemme 5.8, les  $g_1, \dots, g_{n-s-1} \in \mathcal{T}^1(f) \otimes_{\mathbb{F}_q} \mathbb{F}_{q^m}$  existent lorsque

l'entier  $m$  est assez positif. Soient  $\xi \in X(\mathbb{F}_q)$ , et  $\xi' = \xi \times_{\text{Spec } k} \text{Spec } k'$ . Alors on a  $\mu_\xi(X) = \mu_{\xi'}(X_{\mathbb{F}_{q^m}})$  d'après la proposition 3.8.

On désigne par  $X_{i, \mathbb{F}_{q^m}}$  l'hypersurface  $V(g_i)$  définie par  $g_i$  sur  $\mathbb{F}_{q^m}$ , où  $i = 1, \dots, n-s-1$ . Par le critère jacobien (cf. [13, Theorem 4.2.19]), on obtient  $X_{\mathbb{F}_{q^m}}^{\text{sing}} \subseteq X_{\mathbb{F}_{q^m}} \cap X_{1, \mathbb{F}_{q^m}} \cap \dots \cap X_{n-s-1, \mathbb{F}_{q^m}}$ .

Pour tout sous-schéma intègre  $Y$  de  $X_{\mathbb{F}_{q^m}}$ , on désigne par  $Y^{(a)}$  le lieu des points dans  $Y$  dont les multiplicités sont égales à  $\mu_Y(X_{\mathbb{F}_{q^m}})$ , et par  $Y^{(b)}$  le lieu des points dans  $Y$  dont les multiplicités sont plus grandes ou égales à  $\mu_Y(X_{\mathbb{F}_{q^m}}) + 1$ . De plus, on désigne par  $Y^{(a)}(\mathbb{F}_q)$  (*resp.*  $Y^{(b)}(\mathbb{F}_q)$ ) l'ensemble des points  $\mathbb{F}_{q^m}$ -rationnels de  $Y^{(a)}$  (*resp.*  $Y^{(b)}$ ) qui apparaissent dans les images inverses des éléments de  $\mathbb{P}_{\mathbb{F}_q}^n(\mathbb{F}_q)$  par rapport à l'immersion fermée de  $Y$  dans  $\mathbb{P}_{\mathbb{F}_{q^m}}^n$  sous le changement de base  $\mathbb{P}_{\mathbb{F}_{q^m}}^n \rightarrow \mathbb{P}_{\mathbb{F}_q}^n$  (voir la définition 3.19). Donc on a  $Y(\mathbb{F}_q) = Y^{(a)}(\mathbb{F}_q) \sqcup Y^{(b)}(\mathbb{F}_q)$ .

D'après le corollaire 3.14, on obtient que  $Y^{(a)}$  est dense dans  $Y$  si  $Y^{(a)} \neq \emptyset$ , et  $Y^{(b)}$  est de dimension plus petite ou égale à  $\dim(Y) - 1$ .

Dans la suite, on construit une famille d'arbres d'intersection  $\{\mathcal{T}_Y\}$ , où  $Y \in \mathcal{C}(X_{\mathbb{F}_{q^m}} \cdot X_{1, \mathbb{F}_{q^m}} \cdot \dots \cdot X_{n-s-1, \mathbb{F}_{q^m}})$ . La racine de l'arbre d'intersection  $\mathcal{T}_Y$  est  $Y$ .

Pour construire les sommets de profondeur plus grande ou égale à 1, soit  $U$  un sommet déjà construit dans les arbres d'intersection  $\{\mathcal{T}_Y\}$ . On considère le sommet  $U$  comme un schéma intègre. Il faut considérer les propriétés de  $U(\mathbb{F}_q)$ , où  $U(\mathbb{F}_q)$  est défini dans la définition 3.19. Si  $U^{(b)}(\mathbb{F}_q) = \emptyset$ , le sommet  $U$  est une feuille dans les arbres d'intersection.

Si  $U^{(b)}(\mathbb{F}_q) \neq \emptyset$ , alors on a  $\mu_U(X_{\mathbb{F}_{q^m}}) < \delta$ . D'après le corollaire 5.4, on peut trouver un  $h \in \mathcal{T}^{\delta-\mu_U(X_{\mathbb{F}_{q^m}})}(f) \otimes_{\mathbb{F}_q} \mathbb{F}_{q^m}$ , tel que l'hypersurface définie par le polynôme  $h$  intersecte  $U$  proprement. Bien sûr on a  $\deg(h) \leq \delta - 1$ . Dans ce cas-là, on définit  $V(h)$  comme l'étiquette du sommet  $U$ .

Les poids des arêtes sont les multiplicités d'intersection respectives.

Pour la construction plus haute, toutes les étiquettes mentionnées ci-dessus sont de dimension  $n-1$ , donc les sommet dans  $\mathcal{C}_w$  sont de dimension  $n-w-2$ , où  $1 \leq w \leq n-2$  est un entier.

Le lemme suivant est une propriété de l'ensemble  $\mathcal{Z}_*$  (voir la définition 4.2), qui sera utile dans la démonstration du théorème 5.1. C'est la motivation que l'on définit le sous-ensemble  $\mathcal{Z}_*$  de  $\mathcal{C}_*$ .

**Lemme 5.9.** — *Avec les notations et constructions ci-dessus, pour tout  $\xi \in X_{\mathbb{F}_{q^m}}^{\text{sing}}(\mathbb{F}_q)$ , il existe au moins un  $Z \in \mathcal{Z}_*$  tel que  $\xi \in Z^{(a)}(\mathbb{F}_q)$ , où  $\mathcal{Z}_*$  est défini dans la définition 4.2.*

*Démonstration.* — Soit  $Y \in \mathcal{C}(X_{\mathbb{F}_{q^m}} \cdot X_{1, \mathbb{F}_{q^m}} \cdot \dots \cdot X_{n-s-1, \mathbb{F}_{q^m}})$ . Par la construction des arbres d'intersection  $\mathcal{T}_Y$  ci-dessus, pour tout  $\xi \in X_{\mathbb{F}_{q^m}}^{\text{sing}}(\mathbb{F}_q)$ , on a  $\xi \in Y(\mathbb{F}_q)$  pour au moins un  $Y \in \mathcal{C}(X_{\mathbb{F}_{q^m}} \cdot X_{1, \mathbb{F}_{q^m}} \cdot \dots \cdot X_{n-s-1, \mathbb{F}_{q^m}})$ .

Soit  $\mathcal{C}_m$  comme dans la définition 4.1. Si  $\mathcal{C}_{n-2} \neq \emptyset$ , les sommets dans  $\mathcal{C}_{n-2}$  sont certains points rationnels, qui doivent être réguliers. Si  $\mathcal{C}_t = \emptyset$  mais  $\mathcal{C}_{t-1} \neq \emptyset$ , alors

pour tout  $U \in \mathcal{C}_{t-1}$ , on a  $U^{(b)}(\mathbb{F}_q) = \emptyset$ . Donc pour tout  $\xi \in X_{\mathbb{F}_{q^m}}^{\text{sing}}(\mathbb{F}_q)$ , il existe un  $Y \in \mathcal{C}_w$ , tel que  $\xi \in Y^{(a)}(\mathbb{F}_q)$ .

Pour un  $\xi \in X_{\mathbb{F}_{q^m}}^{\text{sing}}(\mathbb{F}_q)$  fixé, on prend la valeur minimale  $w$  telle qu'il existe un  $Y \in \mathcal{C}_w$  vérifiant  $\xi \in Y^{(a)}(\mathbb{F}_q)$ . S'il existe un tel  $Y \in \mathcal{Z}_w$ , on a l'assertion. Sinon, pour tout  $Y \in \mathcal{C}_w$  qui satisfait  $\xi \in Y^{(a)}(\mathbb{F}_q)$ , on a toujours  $Y \notin \mathcal{Z}_w$ . Alors on peut trouver l'entier positif maximal  $w'$  qui satisfait la condition suivante :  $w' < w$ , et il existe un  $Y_0 \in \mathcal{C}_{w'}$  tel que  $Y \subsetneq Y_0$  mais  $Y$  ne soit pas parmi les descendants de  $Y_0$ . Si  $\xi \in Y_0^{(a)}(\mathbb{F}_q)$ , il contredit avec ce que  $w$  est minimal. Si  $\xi \in Y_0^{(b)}(\mathbb{F}_q)$ , alors on a  $\mu_Y(X_{\mathbb{F}_{q^m}}) = \mu_\xi(X_{\mathbb{F}_{q^m}}) \geq \mu_{Y_0}(X_{\mathbb{F}_{q^m}}) + 1$ . D'après la construction des arbres d'intersection ci-dessus,  $Y$  est un descendant de  $Y_0$ , qui contredit avec ce que le choix de  $w'$  est maximal.

En résumé, on a l'assertion.  $\square$

**5.3. Démonstration du théorème 5.1.** — Avec toutes les préparations ci-dessus, on va démontrer le théorème 5.1.

*Démonstration du théorème 5.1.* — On prend la construction des arbres d'intersection dont les racines sont les éléments dans  $\mathcal{C}(X_{\mathbb{F}_{q^m}} \cdot X_{1, \mathbb{F}_{q^m}} \cdots X_{n-s-1, \mathbb{F}_{q^m}})$  dans §5.2. D'après la proposition 3.8, comme  $\mathbb{F}_q$  est un corps parfait, on a  $\mu_\xi(X) = \mu_{\xi'}(X_{\mathbb{F}_{q^m}})$ , où  $\xi \in X(\mathbb{F}_q)$  et  $\xi' = \xi \times_{\text{Spec } \mathbb{F}_q} \text{Spec } \mathbb{F}_{q^m}$ .

Donc on obtient

$$\begin{aligned}
 (20) \quad & \sum_{\xi \in X(\mathbb{F}_q)} \mu_\xi(X)(\mu_\xi(X) - 1)^{n-s-1} \\
 &= \sum_{\xi \in X_{\mathbb{F}_{q^m}}^{\text{sing}}(\mathbb{F}_q)} \mu_\xi(X)(\mu_\xi(X) - 1)^{n-s-1} \\
 &= \sum_{\xi \in X_{\mathbb{F}_{q^m}}^{\text{sing}}(\mathbb{F}_q)} \mu_\xi(X_{\mathbb{F}_{q^m}})(\mu_\xi(X_{\mathbb{F}_{q^m}}) - 1)^{n-s-1},
 \end{aligned}$$

où la notation  $X_{\mathbb{F}_{q^m}}^{\text{sing}}(\mathbb{F}_q)$  est introduite dans la définition 3.19.

D'après le lemme 5.9, pour tout  $\xi \in X_{\mathbb{F}_{q^m}}^{\text{sing}}(\mathbb{F}_q)$ , on peut trouver un  $Z \in \mathcal{Z}_*$  tel que  $\xi \in Z^{(a)}(\mathbb{F}_q)$ . Donc on obtient

$$\begin{aligned}
 (21) \quad & \sum_{\xi \in X_{\mathbb{F}_{q^m}}^{\text{sing}}(\mathbb{F}_q)} \mu_\xi(X_{\mathbb{F}_{q^m}})(\mu_\xi(X_{\mathbb{F}_{q^m}}) - 1)^{n-s-1} \\
 &\leq \sum_{t=0}^s \sum_{Z \in \mathcal{Z}_t} \sum_{\xi \in Z^{(a)}(\mathbb{F}_q)} \mu_\xi(X_{\mathbb{F}_{q^m}})(\mu_\xi(X_{\mathbb{F}_{q^m}}) - 1)^{n-s-1}.
 \end{aligned}$$

D'après le corollaire 5.5, pour tout  $Z \in \mathcal{Z}_*$ , on obtient que l'inégalité

$$\mu_Z(X_{\mathbb{F}_{q^m}}) - 1 \leq \mu_Z(X_{i, \mathbb{F}_{q^m}}),$$

est vérifiée pour tout  $i = 1, \dots, n-s-1$ . Donc on a l'inégalité

$$(22) \quad \mu_Z(X_{\mathbb{F}_{q^m}})(\mu_Z(X_{\mathbb{F}_{q^m}}) - 1)^{n-s-1} \leq \mu_Z(X_{\mathbb{F}_{q^m}})\mu_Z(X_{1, \mathbb{F}_{q^m}}) \cdots \mu_Z(X_{n-s-1, \mathbb{F}_{q^m}}).$$

D'après la proposition 4.6 et l'inégalité (22), on a

$$(23) \quad \begin{aligned} & \sum_{Z \in \mathcal{Z}_t} \mu_Z(X_{\mathbb{F}_{q^m}})(\mu_Z(X_{\mathbb{F}_{q^m}}) - 1)^{n-s-1} \deg(Z) \\ & \leq \sum_{Z \in \mathcal{Z}_t} \mu_Z(X_{\mathbb{F}_{q^m}}) \mu_Z(X_{1, \mathbb{F}_{q^m}}) \cdots \mu_Z(X_{n-s-1, \mathbb{F}_{q^m}}) \deg(Z) \leq \delta(\delta - 1)^{n-s+t-1} \end{aligned}$$

pour tout  $t = 0, \dots, s$ , car toutes les étiquettes dans  $\mathcal{C}'_*$  sont de degré plus petit ou égal à  $\delta - 1$ .

Avec les inégalités (21) et (23), on a

$$(24) \quad \begin{aligned} & \sum_{t=0}^s \sum_{Z \in \mathcal{Z}_t} \sum_{\xi \in Z^{(a)}(\mathbb{F}_q)} \mu_\xi(X_{\mathbb{F}_{q^m}})(\mu_\xi(X_{\mathbb{F}_{q^m}}) - 1)^{n-s-1} \\ & = \sum_{t=0}^s \sum_{Z \in \mathcal{Z}_t} \mu_Z(X_{\mathbb{F}_{q^m}})(\mu_Z(X_{\mathbb{F}_{q^m}}) - 1)^{n-s-1} \#Z^{(a)}(\mathbb{F}_q) \\ & \leq \sum_{t=0}^s \sum_{Z \in \mathcal{Z}_t} \mu_Z(X_{\mathbb{F}_{q^m}})(\mu_Z(X_{\mathbb{F}_{q^m}}) - 1)^{n-s-1} \#Z(\mathbb{F}_q) \\ & \leq \sum_{t=0}^s \sum_{Z \in \mathcal{Z}_t} (\mu_Z(X_{\mathbb{F}_{q^m}})(\mu_Z(X_{\mathbb{F}_{q^m}}) - 1)^{n-s-1} \deg(Z) \# \mathbb{P}^{s-t}(\mathbb{F}_q)) \\ & = \sum_{t=0}^s \# \mathbb{P}^{s-t}(\mathbb{F}_q) \left( \sum_{Z \in \mathcal{Z}_t} \mu_Z(X_{\mathbb{F}_{q^m}})(\mu_Z(X_{\mathbb{F}_{q^m}}) - 1)^{n-s-1} \deg(Z) \right) \\ & \leq \delta(\delta - 1)^{n-s-1} \# \mathbb{P}^s(\mathbb{F}_q) + \delta(\delta - 1)^{n-s} \# \mathbb{P}^{s-1}(\mathbb{F}_q) \\ & \quad + \cdots + \delta(\delta - 1)^{n-1}, \end{aligned}$$

où l'inégalité dans la troisième ligne est vérifiée d'après la proposition 3.20, et la dernière intégalité est vraie d'après le lemme 3.18.

D'après les inégalités (20), (21) et (24), on obtient le résultat.  $\square$

**Remarque 5.10.** — Si  $n = 2$ , par la méthode similaire à la démonstration du théorème 5.1, on obtient l'inégalité (1), où en fait on peut considérer tous les points fermés de cette courbe plane. D'après le théorème 5.1, on a

$$\begin{aligned} \sum_{\xi \in X(\mathbb{F}_q)} \mu_\xi(X)(\mu_\xi(X) - 1)^{n-s-1} & \leq (s+1)^2 \delta(\delta - 1)^{n-s-1} \max\{\delta - 1, q\}^s \\ & \ll_n \delta(\delta - 1)^{n-s-1} \max\{\delta - 1, q\}^s, \end{aligned}$$

comme  $s \leq n - 2$ .

**Exemple 5.11.** — Soit  $X' \hookrightarrow \mathbb{P}_{\mathbb{F}_q}^2$  une courbe plane réduite de degré  $\delta$  définie par l'équation homogène  $f(T_0, T_1, T_2) = 0$  qui a seulement un point  $\mathbb{F}_q$ -rationnel singulier de multiplicité  $\delta$ . Alors on peut considérer  $f(T_0, T_1, T_2)$  comme un polynôme homogène de degré  $\delta$  dans  $\mathbb{F}_q[T_0, \dots, T_n]$ . Donc l'équation homogène  $f(T_0, T_1, T_2) = 0$  définit une hypersurface réduite de degré  $\delta$  de  $\mathbb{P}_{\mathbb{F}_q}^n$  ( $n \geq 2$ ), notée comme  $X$  cette

hypersurface. Soit  $[a_0 : a_1 : a_2]$  la coordonnée projective du point singulier de  $X'$ . Alors on a

$$\begin{aligned} X^{\text{sing}}(\mathbb{F}_q) &= \{[x_0 : \cdots : x_n] \in \mathbb{P}_{\mathbb{F}_q}^n(\mathbb{F}_q) \mid x_0 = a_0, x_1 = a_1, x_2 = a_2\} \cup \\ &\quad \{[x_0 : \cdots : x_n] \in \mathbb{P}_{\mathbb{F}_q}^n(\mathbb{F}_q) \mid x_0 = x_1 = x_2 = 0\}, \end{aligned}$$

où tous les points  $\mathbb{F}_q$ -rationnels singuliers sont de multiplicité  $\delta$ . Alors pour l'hyper-surface  $X$ , on obtient

$$\begin{aligned} \sum_{\xi \in X(\mathbb{F}_q)} \mu_\xi(X)(\mu_\xi(X) - 1) &= \delta(\delta - 1)q^{n-2} + \delta(\delta - 1)(q^{n-3} + \cdots + 1) \\ &= \delta(\delta - 1)(q^{n-2} + \cdots + 1) \\ &\sim_n \delta(\delta - 1)q^{n-2}. \end{aligned}$$

Alors l'ordre de  $\delta$  et l'ordre de  $q$  dans le théorème 5.1 sont optimaux pour le cas où  $q$  est assez grand et  $\dim(X^{\text{sing}}) = n - 2$ .

**Remarque 5.12.** — Soit  $X$  une hypersurface de  $\mathbb{P}_{\mathbb{F}_q}^n$ , où  $\dim(X^{\text{sing}}) = s$ . D'après le théorème 5.1, on obtient

$$\begin{aligned} &\sum_{\xi \in X(\mathbb{F}_q)} \mu_\xi(X)(\mu_\xi(X) - 1) \\ &\leq \sum_{\xi \in X(\mathbb{F}_q)} \mu_\xi(X)(\mu_\xi(X) - 1)^2 \leq \cdots \leq \sum_{\xi \in X(\mathbb{F}_q)} \mu_\xi(X)(\mu_\xi(X) - 1)^{n-s-1} \\ &\leq \delta(\delta - 1)^{n-s-1}(q^s + q^{s-1} + \cdots + 1) + \\ &\quad \delta(\delta - 1)^{n-s}(q^{s-1} + q^{s-2} + \cdots + 1) + \cdots + \delta(\delta - 1)^{n-1}. \end{aligned}$$

Donc on obtient que pour tout  $t \in \{1, \dots, n - s - 1\}$ , on a

$$\sum_{\xi \in X(\mathbb{F}_q)} \mu_\xi(X)(\mu_\xi(X) - 1)^t \ll_n \delta(\delta - 1)^{n-s-1}q^s$$

lorsque  $q \geq \delta - 1$ .

Soit  $t$  un entier avec  $t \geq n - s$ , on peut construire un exemple (l'exemple 5.11 par exemple), tel que

$$\sum_{\xi \in X(\mathbb{F}_q)} \mu_\xi(X)(\mu_\xi(X) - 1)^t \sim_n \delta(\delta - 1)^t q^s$$

lorsque  $q \geq \delta - 1$ .

Soit  $f(T) \in \mathbb{R}[T]$  un polynôme de degré  $n - s$ , qui satisfait  $f(1) = 0$  et  $f(x) > 0$  pour tout  $x \geq 2$ . Donc il existe une constante  $C_f > 0$  dépendant du polynôme  $f(T)$ , telle que

$$f(x) \leq C_f x(x - 1)^{n-s-1}$$

pour tout  $x \geq 1$ . D'où l'on a

$$\sum_{\xi \in X(\mathbb{F}_q)} f(\mu_\xi(X)) \leq C_f \sum_{\xi \in X(\mathbb{F}_q)} \mu_\xi(X)(\mu_\xi(X) - 1)^{n-s-1} \ll_{n,f} \delta(\delta - 1)^{n-s-1} \max\{\delta - 1, q\}^s.$$

Alors le choix de la fonction de comptage

$$\mu_\xi(X)(\mu_\xi(X) - 1)^{n-s-1}$$

est convenable pour décrire la complexité du lieu singulier de  $X$ , où  $\xi \in X(\mathbb{F}_q)$ .

Pour généraliser le théorème 5.1 au cas où  $X$  est un schéma projectif général, on a la conjecture suivante.

**Conjecture 5.13.** — *Soit  $X$  un sous-schéma fermé réduit de  $\mathbb{P}_{\mathbb{F}_q}^n$  qui est de dimension pure  $d$  et de degré  $\delta$ . Si la dimension du lieu singulier de  $X$  est  $s$ , alors on a*

$$\sum_{\xi \in X(\mathbb{F}_q)} \mu_\xi(X)(\mu_\xi(X) - 1)^{d-s} \ll_n \delta(\delta - 1)^{d-s} q^s.$$

## Références

- [1] M. F. ATIYAH & I. G. MACDONALD – *Introduction to commutative algebra*, Addison-Wesley Publishing Co., Reading, Mass.-London-Don Mills, Ont., 1969.
- [2] N. BOURBAKI – *Éléments de mathématique*, Masson, Paris, 1983, Algèbre commutative. Chapitre 8. Dimension. Chapitre 9. Anneaux locaux noethériens complets. [Commutative algebra. Chapter 8. Dimension. Chapter 9. Complete Noetherian local rings].
- [3] D. EISENBUD – *Commutative algebra*, Graduate Texts in Mathematics, vol. 150, Springer-Verlag, New York, 1995, With a view toward algebraic geometry.
- [4] W. FULTON – *Algebraic curves. An introduction to algebraic geometry*, W. A. Benjamin, Inc., New York-Amsterdam, 1969, Notes written with the collaboration of Richard Weiss, Mathematics Lecture Notes Series.
- [5] ———, *Intersection theory*, second éd., Ergebnisse der Mathematik und ihrer Grenzgebiete. 3. Folge. A Series of Modern Surveys in Mathematics [Results in Mathematics and Related Areas. 3rd Series. A Series of Modern Surveys in Mathematics], vol. 2, Springer-Verlag, Berlin, 1998.
- [6] O. GABBER, Q. LIU & D. LORENZINI – « The index of an algebraic variety », *Inventiones Mathematicae* **192** (2013), no. 3, p. 567–626.
- [7] ———, « Hypersurfaces in projective schemes and a moving lemma », *Duke Mathematical Journal* **164** (2015), no. 7, p. 1187–1270.
- [8] A. GROTHENDIECK & J. DIEUDONNÉ – « Éléments de géométrie algébrique. IV. Étude locale des schémas et des morphismes de schémas. II », *Institut des Hautes Études Scientifiques. Publications Mathématiques* (1965), no. 24, p. 231.
- [9] ———, *Éléments de géométrie algébrique*, Die Grundlehren der mathematischen Wissenschaften in Einzeldarstellungen, vol. 166, Springer-Verlag, Berlin, 1971.
- [10] R. HARTSHORNE – *Algebraic geometry*, Springer-Verlag, New York, 1977, Graduate Texts in Mathematics, No. 52.
- [11] J. KOLLÁR – *Lectures on resolution of singularities*, Annals of Mathematics Studies, vol. 166, Princeton University Press, Princeton, NJ, 2007.
- [12] G. LAUMON – « Degré de la variété duale d'une hypersurface à singularités isolées », *Bulletin de la Société Mathématique de France* **104** (1976), no. 1, p. 51–63.
- [13] Q. LIU – *Algebraic geometry and arithmetic curves*, Oxford Graduate Texts in Mathematics, vol. 6, Oxford University Press, Oxford, 2002, Translated from the French by Reinie Erné, Oxford Science Publications.

- [14] H. MATSUMURA – *Commutative algebra*, second éd., Mathematics Lecture Note Series, vol. 56, Benjamin/Cummings Publishing Co., Inc., Reading, Mass., 1980.
- [15] B. MAZUR – « Eigenvalues of Frobenius acting on algebraic varieties over finite fields », in *Algebraic geometry (Proc. Sympos. Pure Math., Vol. 29, Humboldt State Univ., Arcata, Calif., 1974)*, Amer. Math. Soc., Providence, R.I., 1975, p. 231–261.
- [16] J. S. MILNE – *Étale cohomology*, Princeton Mathematical Series, vol. 33, Princeton University Press, Princeton, N.J., 1980.
- [17] M. MUSTAȚĂ – « Zeta functions in algebraic geometry », [http://www.math.lsa.umich.edu/~mustata/zeta\\_book.pdf](http://www.math.lsa.umich.edu/~mustata/zeta_book.pdf), 2011.
- [18] M. NAGATA – *Local rings*, Interscience Tracts in Pure and Applied Mathematics, No. 13, Interscience Publishers a division of John Wiley & Sons New York-London, 1962.
- [19] K. J. NOWAK – « On the intersection multiplicity of images under an étale morphism », *Colloquium Mathematicum* **75** (1998), no. 2, p. 167–174.
- [20] B. POONEN – « Existence of rational points on smooth projective varieties », *Journal of the European Mathematical Society (JEMS)* **11** (2009), no. 3, p. 529–543.
- [21] P. C. ROBERTS – *Multiplicities and Chern classes in local algebra*, Cambridge Tracts in Mathematics, vol. 133, Cambridge University Press, Cambridge, 1998.
- [22] P. SAMUEL – *Algèbre locale*, Mémorial des Sciences Mathématiques, fascicule 123, Gauthier-Villars, Paris, 1953.
- [23] ———, *Méthodes d'algèbre abstraite en géométrie algébrique*, Seconde édition, corrigée. Ergebnisse der Mathematik und ihrer Grenzgebiete, Band 4, Springer-Verlag, Berlin-New York, 1967.
- [24] J.-P. SERRE – *Local algebra*, Springer Monographs in Mathematics, Springer-Verlag, Berlin, 2000, Translated from the French by CheeWhye Chin and revised by the author.
- [25] R. P. STANLEY – *Enumerative combinatorics. Volume 1*, second éd., Cambridge Studies in Advanced Mathematics, vol. 49, Cambridge University Press, Cambridge, 2012.
- [26] A. WEIL – *Foundations of Algebraic Geometry*, American Mathematical Society Colloquium Publications, vol. 29, American Mathematical Society, New York, 1946.

---

12 octobre 2018

CHUNHUI LIU, Institut de Mathématiques de Jussieu - Paris Rive Gauche(UMR 7586), Université Paris-Diderot - Paris 7, UFR de Mathématiques, Bâtiment Sophie Germain, Case 7012, 75205 PARIS Cedex 13, France • E-mail : [chunhui.liu@imj-prg.fr](mailto:chunhui.liu@imj-prg.fr)  
 Url : <https://webusers.imj-prg.fr/~chunhui.liu/>